



CHALMERS



GÖTEBORGS UNIVERSITET

Rotationer, spinorer och spinn

Hur man kan visualisera spinn

Examensarbete för kandidatexamen i matematik vid Göteborgs universitet

Kandidatarbete inom civilingenjörsutbildningen vid Chalmers

Lars Wickström

Liqin Xu

Patrik Agné

Simon Jonsson

Rotationer, spinorer och spinn

Hur man kan visualisera spinn

Examensarbete för kandidatexamen i matematik vid Göteborgs universitet

Liqin Xu Patrik Agné

Kandidatarbete i matematik inom civilingenjörsprogrammet Teknisk fysik vid Chalmers

Lars Wickström

Kandidatarbete i matematik inom civilingenjörsprogrammet Kemiteknik med fysik vid Chalmers

Simon Jonsson

Handledare: Andreas Rosén

Examinator: Maria Roginskaya Ulla Dinger

Institutionen för Matematiska vetenskaper
CHALMERS TEKNISKA HÖGSKOLA
GÖTEBORGS UNIVERSITET
Göteborg, Sverige 2019

Populärvetenskaplig presentation

I detta arbete ska vi diskutera begreppet spinn, vad som inom matematik kallas \mathbf{Z}_2 -minnet hos rotationer. Det visar sig för en del system, bland annat inom kvantmekaniken, att när det har genomgått en full 360° rotation har det ännu inte återställts till sitt grundläge, utan är nu i motsatt konfiguration, och det är först när systemet fått rotera ytterligare 360° , till sammanlagt 720° , som systemet återställts. Spinn är inte bara ett fenomen som dyker upp inom matematiken, utan är ett naturligt fenomen och har en plats i världen vi befinner oss i.

”Bälttricket” kan hjälpa oss få insikt i detta fenomen. Det visar sig att om man fäster ena änden av ett bälte i ett bordsben och håller den andra änden i sin hand och roterar änden man håller i ett varv kommer man märka att detta vridna bälte inte går att få ”ovridet” genom att flytta runt bältet; det enda sättet det kan återgå till att bli ovridet är att rotera bältet ett helt varv till.

Ett annat sätt att betrakta fenomenet är att utgå från att rotation alltid är kring en axel, och försöka göra en avbildning av rotationer som ett typ av rum där vardera punkt utgör en viss rotation. Låt vardera axel vara en linje där samtliga linjer har en punkt de alla går igenom och låt hur långt ut på varje linje man är i förhållande till denna punkt utgöra den vinkel man roterat, detta kommer utgöra ett klot med ”radie” 180° . Men då sammanfaller systemen, dvs 180° rotation runt en axel, eller -180° runt samma axel motsvarar samma rotation.

Detta fenomen uppkommer som sagt bland annat i kvantmekaniken. För att kunna modellera dem väl behöver man ett nytt sätt att föreställa sig vad som sker. Det behövs ett nytt typ av objekt med egenskapen att de, precis som kvantmekaniska system, inte återställs efter 360° rotation utan istället 720° . De matematiska objekt som har denna egenskap kallas ”spinorer” och upptäcktes av Elie Cartan 1913, ett bra tag innan behovet inom kvantmekaniken uppkom.

Ett problem med spinn och spinorer är att det är svårt att faktiskt visualisera hur det ser ut. I detta arbete har vi därför skapat en datoranimation för att visualisera fenomenen.

Vi har bland annat utvecklat datoranimationer där en användare kan rotera runt ett vanligt koordinatsystem, och jämföra den med lägen inom ett visst klot. Dessa lägen i klotet relaterar vi till kvaternioner, vilka är en samling av skalärer och ”bivektorer”. Bivektorer är en speciell typ av vektorer men som istället för att motsvara linjer är de mer som plan.

Det finns även ett program som istället låter dig manipulera en punkt i klotet, där nu koordinatsystemet istället kommer få rotera efter hur punkten befinner sig. Man kommer se att när man dragit runt koordinataxlarna ett helt varv kommer inte punkten i klotet ha återkommit, utan två varv krävs. Ett tredje program, kanske mer exotiskt än de tidigare, låter användaren se hur kvaternionen roterar spinorer, där man kan se att det kommer krävas just två varv för att systemet skall återställas. Bland annat används kvaternionerna i mekatronik och stelkroppsmeکانik just för att de beskriver roterande system så enkelt och så troget till verkligheten.

I vårt projekt beskriver vi hur man bygger upp en Cliffordalgebra, en algebra som består av olika typer av ”multivektorer”, i vilka bivektorerna är en del i av. De används inte enbart i kvantmekaniken utan man kan bygga upp dem för att göra uträkningar i speciell relativitetsteori. Även en del klassisk mekanik blir förenklad med Cliffordalgebran.

Sammanfattning

Ett viktigt begrepp inom kvantmekaniken är spinn. Vissa kvantmekaniska system har egenskapen att vid en full rotation har systemet inte återställts utan befinner sig istället i motsatt konfiguration relativt startläget. Detta är vad man menar med spinn. Spinn är dock känt för att vara svårt att visualisera. I detta arbete har vi skapat en datoranimation för att visa hur spinn uppkommer och beter sig. Vi har använt programspråket MATLAB för att göra detta. För att kunna förstå denna datoranimation måste man dock först ha grundläggande förståelse för spinn. I detta arbete har vi därför gjort en genomgång av den matematiska teorin bakom spinn. Vi börjar med att förklara begreppen yttre algebra och Cliffordalgebra. Sedan introducerar vi kvaternioner och förklarar deras koppling till spinn. Vi går därefter igenom begreppen spinorer och spinorum som är nödvändiga för att beskriva spinn i fysiken. Vi avslutar arbetet med att förklara hur koden är uppbyggd och hur den är kopplad till spinn.

Abstract

A central concept in quantum mechanics is spin. Certain quantum systems have the property that, at a full rotation, the system has not been reset, but is in the opposite configuration relative to the starting position. It is previously known that spin is hard to visualize. In this paper we have for this reason created a computer animation to show how spin arises and how it behaves. We have used the programming language MATLAB to do this. To be able to understand this animation it is necessary to have a basic understanding of spin. A central part of this paper will therefore consist of a review of the mathematical theory behind spin. We start by explaining the mathematical concepts of exterior algebra and Clifford algebra. Then we introduce quaternions and explain their connections to spin. Furthermore we explain the mathematical concepts of spinors and spinor space to describe spin. Finally we end the paper with explaining how the code is written and how it relates to spin.

Innehåll

1	Vad vi kommer att göra	1
1.1	Vad handlar egentligen spinn om?	1
1.2	Struktur och förkunskap	1
1.3	Metod och material	1
2	Yttre algebra och Cliffordalgebra	2
2.1	Cliffordprodukt	2
2.2	Geometrisk tolkning av multivektorer i Cliffordalgebran för \mathbb{R}^3	4
3	Rotationer i \mathbb{R}^3	5
3.1	Kvaternioner	5
3.2	Kontinuerliga rotationer och spinn	9
3.2.1	Parametrisering av S^3	9
3.2.2	S^3 enkelt sammanhängande	9
3.2.3	Fundamentalgruppen för $SO(3)$	9
4	Spinorer	11
4.1	Grupprepresentation	11
4.2	Dimensionsanalys	12
4.3	Matrisrepresentationer av Cliffordalgebran	12
4.4	Matriser för Cliffordalgebran	12
4.4.1	Komplexa matriser som reella matriser	12
4.4.2	Representation av kvaternioner som komplexa matriser	13
4.4.3	Koppling mellan representationerna	14
5	Kodningen bakom VR, BR och SR	17
	Litteraturförteckning	20
A	Visualisering av yttre algebran	21
	Figurer	21
B	Kompletterande Teori	23
B.1	Basbyten	23
B.2	Homomorfa matrisrepresentationer	24
B.3	Rotationsmatris för godtycklig axel och vinkel i VR	24
B.4	En rotation i \mathbb{R}^3 är alltid kring en axel	25
C	KOD	26
C.1	VR	26
C.2	BR	37
C.3	SR	45

Förord

Bidragsrapport, Lars:

Lars har till stor del skrivit all den kod som presenteras i rapporten, och skrev därför även texten som beskrev koden. Han har även skrivit den delen av introduktionen till Spinorer som beskrev kvantdynamiken hos partiklar med spinn, och även arbetat med den populärvetenskapliga rapporten. Vidare har Lars hjälpt till med bevisföring samt vart med i diskussioner om konceptuella frågor.

Bidragsrapport, Simon:

Simon har bidragit till teoridelen om yttre algebra och Cliifordalgebra. Han har även till stora delar själv skrivit teoridelen om kvaternioner och deras koppling till rotationer. Simon har även skrivit stora delar av spinoravsnitten, om dimensionerna, och även analysen utav de två representationerna av \mathbb{H} fram till beviset för kompletta matrisalgebror.

Bidragsrapport, Patrik:

Patrik har skrivit stora delar av sektionen om yttre algebra och Cliffordalgebra och bidragit till ritning av figurerna. Han har skrivit sammanfattning/abstract och delar av den populärvetenskapliga presentationen. Han har också skrivit delarna om basbyten, homomorfa matrisrepresentationer och tagit fram rotationsmatrisen för godtycklig axel och vinkel i VR. Han har även bidragit till att planera arbetet och organiseringen av arbetet.

Bidragsrapport, Liqin:

Liqin har skrivit delar av teoridelen om yttre algebra och Cliffordalgebra och ritat de flesta figurerna. Hon har även bidragit till delarna om dimensionerna, komplexa matriser och kopplingen mellan våra representationer av Cliffordalgebran. Hon har även skött dagboken.

En loggbok har förts över de enskilda medverkandes prestationer.

1 Vad vi kommer att göra

Syftet med detta arbete är att skapa ett interaktivt datorprogram där man kan se relationer mellan rotationer av vektorer och spinorer, men även hur rotationer i sig påverkar vektorerna respektive spinorerna. Vidare är syftet också att kunna visualisera fenomenet spinn och att matematiskt kunna presentera varför rotationer har det interna minne vi kallar spinn.

Detta projekt kommer att vara tvådelat. Första delen kommer handla om rotationer i 3 dimensioner. Vi kommer här undersöka de topologiska egenskaperna hos mängden av rotationer för \mathbb{R}^3 och även påvisa det så kallade \mathbf{Z}_2 -minnet som finns hos rotationsgruppen $SO(3)$. Detta minne är vad man menar med spinn. Vi kommer även skapa en datoranimation för att visualisera spinn.

Andra delen av projektet kommer att behandla spinorer. Spinorer är objekt som samexisterar med ett tillhörande vektorrum. Spinorer tillämpas inom kvantmekaniken och är därför viktiga att lära sig mer om. Vi kommer även att göra en datoranimation för att visa hur vektorrummet roterar tillsammans med spinorrummet.

1.1 Vad handlar egentligen spinn om?

Spinn som fenomen existerar för vektorrum med dimension högre än 2. Det roterar gradvis till två rotationer med två topologiskt urskiljbara homotopklasser, en till 2π och en till 4π . Dessa två olika klasser ger spinortransformationer av motsatt tecken. Som vi nämnde tidigare är bälttricket ett berömt exempel för att illustrera den övergripande spinnteorin. Ena änden av ett bälte är fastsatt och den andra änden roterar fritt. Bältet vrids när den fria änden roterar ett varv, för att återgå till att ej längre vara vridet måste den fria änden rotera två varv runt samma axel med moturs orientering.

1.2 Struktur och förkunskap

Vi kommer att lära oss förstå spinn genom geometrisk algebra. Först går vi igenom yttre algebra och Cliffordalgebra. Genom Cliffordalgebran kommer vi sedan att definiera kvaternioner. Kvaternioner är objekt som används för att rotera i 3 dimensioner. Sedan kommer vi att hitta en homomorfi mellan de kvaternioner som ger upphov till rotationer och rotationsgruppen $SO(3)$.

Vi kommer sedan att undersöka spinorer genom matrisrepresentationer av Cliffordalgebran i \mathbb{R}^3 . Vi kommer även att undersöka rotationer av spinorer och även visa att de är objekt som är oberoende av representationen från Cliffordalgebran.

För att få en lättläst och (förhoppningsvis) njutbar läsning av detta arbete behöver man grundläggande kunskaper i linjär algebra och abstrakt algebra. Att ha grundläggande förståelse för kvantmekanik är nyttigt men inte nödvändigt.

1.3 Metod och material

Som vi sett är syftet med detta arbete dels att genomföra en teoretisk genomgång av begreppet spinn och spinorer, dels att göra en datoranimation där vi visar hur spinn uppkommer. För att kunna ge en teoretisk genomgång av begreppet spinn måste man ha en god förståelse för spinn. Vi har därför läst igenom och diskuterat litteraturen kring spinn och spinorer, och skapat en datoranimation för att kunna visualisera spinn. Vidare har vi fått stor hjälp från handledare Andreas Rosén för att förstå teorin. För att skapa datoranimationerna har vi använt programspråket MATLAB.

2 Yttre algebra och Cliffordalgebra

Vi inleder detta arbete med att diskutera yttre algebra. För att kunna göra detta börja vi med att definiera ett vektorrum, V , med någon kropp, K . I detta arbete kommer vi att utgå från att alla vektorrum är euklidiska. Yttre algebran $(\wedge V, +, \wedge, 1)$ till V är det 2^n dimensionella vektorrummet $\wedge V := \wedge^0 V \oplus \wedge^1 V \oplus \wedge^2 V \dots \oplus \wedge^n V$. Ett element i detta rum skrivs då: $v = v_0 + v_1 + v_2 + \dots + v_n \in \wedge V$ och vi säger att v är en multivektor av grad n , där $v_i \in \wedge^i V$. Speciellt är $\wedge^0 V$ rummet av skalärer, $\wedge^1 V$ rummet av vektorer, $\wedge^2 V$ rummet av bivektorer och $\wedge^3 V$ rummet av trivektorer.

Nu definierar vi yttreprodukten.

Definition Yttreprodukt (referens: Andreas Rosén (handledare), skriftlig kommunikation, 14/5 2019) Låt $\{e_1, \dots, e_n\}$ utgöra en bas för vektorrummet V och låt $v_j \in V$ vara vektorer sådana att $v_j = \sum a_{i,j} e_i$. Vi beräknar då yttreprodukten av dessa vektorer som

$$v_1 \wedge v_2 \wedge \dots \wedge v_n = \begin{vmatrix} e_1 & a_{1,1} & \dots & a_{1,n} \\ e_2 & a_{2,1} & \dots & a_{2,n} \\ \vdots & \vdots & \ddots & \vdots \\ e_n & a_{n,1} & \dots & a_{n,n} \end{vmatrix} := \sum_{i=1}^n \begin{vmatrix} a_{1,1} & \dots & a_{i,n} \\ \vdots & \ddots & \vdots \\ a_{i,1} & \dots & a_{n,n} \end{vmatrix} e_1 \wedge \dots \wedge e_n. \quad (1)$$

Vi har att följande regler för yttreprodukten:

$$1. v \wedge u = -u \wedge v \text{ (antikommutativitet);} \quad (2)$$

$$2. (v \wedge u) \wedge w = v \wedge (u \wedge w) \text{ (associativitet).} \quad (3)$$

2.1 Cliffordprodukt

Följande sats lägger grunden till det som vi nedan kallar Cliffordprodukten.

Sats: Lagranges identitet¹ Låt V vara ett skalärproduktsrum. Vektorerna v_1 och v_2 uppfyller då att

$$|\langle v_1, v_2 \rangle|^2 + |v_1 \wedge v_2|^2 = |v_1|^2 |v_2|^2. \quad (4)$$

Där $\langle a, b \rangle$ är skalärprodukten mellan två vektorer a och b , och $|v_i|$ anger längden på vektorn v_i .

Intuitionen bakom denna sats hittas i Cauchy-Schwarz och Hadamards olikheter.

Vi kommer ihåg att om V är ett skalärproduktsrum och vektorerna $u, v \in V$ vet vi från Cauchy-Schwarz olikhet att

$$|\langle v_1, v_2 \rangle| \leq |v_1| |v_2|. \quad (5)$$

Hadamards olikhet säger istället att

$$|v_1 \wedge v_2| \leq |v_1| |v_2|. \quad (6)$$

Vi får likhet i Hadamards olikhet om och endast om $\langle v_1, v_2 \rangle = 0$, om vektorerna är ortogonala.

¹För bevis av denna sats, se (1)

Vi får likhet i Cauchy-Schwarz olikhet om och endast om $\langle v_1, v_2 \rangle = |v_1||v_2|$, om vektorerna är parallella. Det finns alltså ett inverst förhållande mellan skalärprodukten och yttreprodukten.

I euklidiska rum definierar vi skalärprodukten som det unika talet $0 \leq \theta \leq \pi$ sådant att

$$\langle v_1, v_2 \rangle = |v_1||v_2| \cos(\theta), \quad (7)$$

ekv. (4) kan då skrivas

$$|v_1|^2|v_2|^2 \cos^2(\theta) + |v_1 \wedge v_2|^2 = |v_1|^2|v_2|^2. \quad (8)$$

Det följer då att

$$|v_1 \wedge v_2|^2 = |v_1|^2|v_2|^2 \sin^2(\theta), \quad 0 \leq \theta \leq \pi. \quad (9)$$

Dessa produkter kan vi sätta ihop genom operationen

$$v_1 \Delta v_2 = \langle v_1, v_2 \rangle + v_1 \wedge v_2 \in \wedge^0 V \oplus \wedge^2 V. \quad (10)$$

Detta är vad vi menar med Cliffordprodukten av vektorerna v_1 och v_2 . I fortsättningen kommer vi, på de ställen där det inte finns risk att missförstånd uppstår, skriva $v_1 \Delta v_2 =: v_1 v_2$.

Definition Cliffordprodukt (1) *Cliffordprodukten är den unika bilinjära produkt på yttre algebran, $\wedge V$. För en parvis ortogonal mängd $\{a_i\}_1^n$ vektorer i V sammanfaller cliffordprodukten med yttre produkten. Vidare uppfyller även cliffordprodukten nedanstående punkter*

- $a^2 = |a|^2, \forall a \in V$
 - $a_i a_j = -a_j a_i$, för $i \neq j$
 - $(a_1 \Delta a_2) \Delta a_3 = a_1 \Delta (a_2 \Delta a_3)$
- (11)

Nu följer definitionen av Cliffordalgebra.

Definition Cliffordalgebra *Med ΔV menar vi Cliffordalgebran $(\wedge V, +, \Delta)$ definierad av Cliffordprodukten på rummet av multivektorer i V .*

Något som kan verka onödigt nu, men som kommer bli relevant senare i arbetet när vi kommer till kvaternioner, är uppdelningen i udda och jämna multivektorer. Vi definierar de jämna och udda multivektorerna som

$$\wedge^{ev} V := \wedge^0 V \oplus \wedge^2 V \oplus \wedge^4 V \oplus \dots, \quad \wedge^{od} V := \wedge^1 V \oplus \wedge^3 V \oplus \wedge^5 V \oplus \dots, \quad (12)$$

så $\wedge V = \wedge^{ev} V \oplus \wedge^{od} V$.

Låt $\Delta^{ev} V := \wedge^{ev} V$, $\Delta^{od} V := \wedge^{od} V$ och

$$\Delta V = \Delta^{od} V \oplus \Delta^{ev} V. \quad (13)$$

Vi ser särskilt att om $u, v \in \Delta^{ev} V$ så följer det att $u \Delta v \in \Delta^{ev} V$, och alltså är sluten. Medan $\Delta^{od} V$ inte är sluten under Cliffordprodukt.

2.2 Geometrisk tolkning av multivektorer i Cliffordalgebran för \mathbb{R}^3

Vi ska nu närmare studera strukturen hos Cliffordalgebran för \mathbb{R}^3 .² Låt $\{e_1, e_2, e_3\}$ utgöra en ON-bas för $V = \mathbb{R}^3$. Vi kan se basvektorerna som de traditionella $\{x, y, z\}$ respektive. Vi kallar dessa vektorer för grad 1 objekt och i Cliffordalgebra uttrycker vi dem $\Delta^1\mathbb{R}^3$.

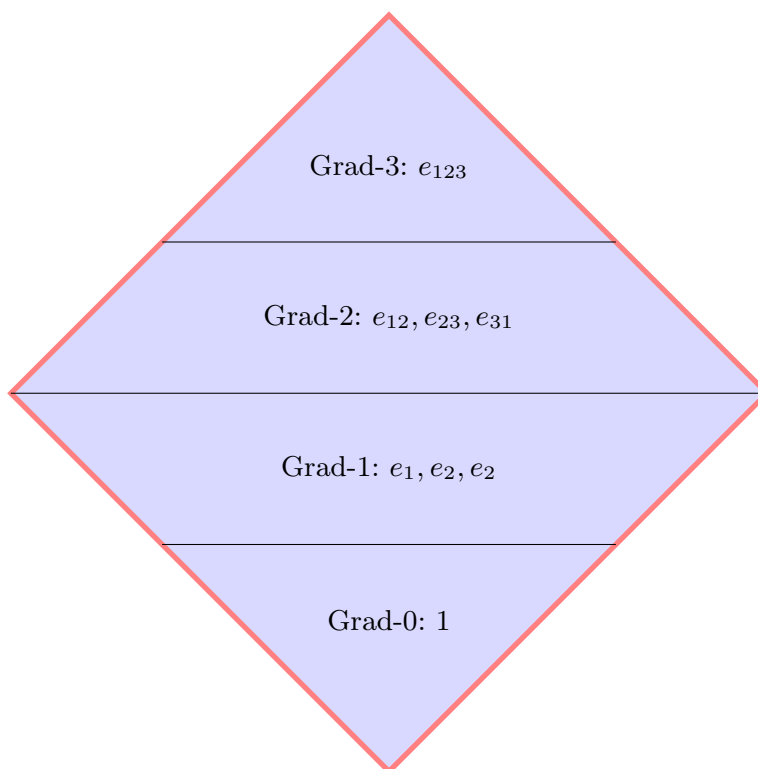
En skalär representerar en punkt och kallas för grad 0 objekt. I Cliffordalgebra blir de $\Delta^0\mathbb{R}^3$.

Från basvektorerna ska vi nu bilda de så kallade bivektorerna $\{e_1e_2, e_2e_3, e_3e_1\}$ genom Clifford-produkten. Bivektorerna ligger i respektive plan i ett 3D rum. e_1e_2 i xy -planet, e_2e_3 i yz -planet och e_3e_1 i zx -planet. Vi ritar dem som parallelogram med moturs orientering (se 4, 5 och 6 i Appendix). Vi kallar dessa grad 2 objekt och beskriver dem som $\Delta^2\mathbb{R}^3$ på Cliffordalgebraiskt vis.

Nu återstår bara att skapa det sista "grundelementet" $e_1e_2e_3$. Vi kallar detta objekt trivektorn. I Cliffordalgebra uttrycker vi den som $e_{123} \in \Delta^3\mathbb{R}^3$.

Denna bildar vi genom att ta en av bivektorerna, säg e_1e_2 , och "förlänger" den i e_3 s riktning. På samma sätt tar vi bivektorn e_2e_3 och förlänger i e_1 riktning, samt tar bivektorn e_3e_1 och förlänger den i e_2 riktning. Vi bildar på så sätt en så kallad parallelepiped med positiv orientering. (se 7 i Appendix).

Vi sammanfattar ovan 4 typer av objekt (en skalär med grad-0, tre vektorer med grad-1, tre bivektorer med grad-2 och en trivektor med grad-3) som 8 grundelement i ett vektorrum $\{1, e_1, e_2, e_3, e_1e_2, e_2e_3, e_3e_1, e_1e_2e_3\}$. Detta illustrerar vi i figur 1.



Figur 1: Cliffordalgebras struktur i \mathbb{R}^3

²Det här beskrivningen bygger på (4)

3 Rotationer i \mathbb{R}^3

I detta avsnitt begränsar vi oss till att $V = \mathbb{R}^3$. Vi kommer här titta på rotationer av vektorer i V med hjälp av både rotationsmatriser men även med hjälp av kvaternionerna, som kan definieras från den jämna Cliffordalgebran. Vi hittar en homomorfi mellan kvaternionerna och rotationsmatriser, sedan går vi vidare och visar \mathbf{Z}_2 -minnet hos rotationer. Gruppen av rotationsmatriser skrivs som $SO(3) := \{T : V \rightarrow V; T^\top T = I, \det T = 1\}$. Där $^\top$ är transponatet till matrisen.

3.1 Kvaternioner

Vi skall nu använda oss utav Cliffordalgebran för att definiera kvaternionerna. Kvaternionerna kan ses som en utvidgning av det komplexa talplanet \mathbb{C} . I det komplexa talplanet kan man enkelt rotera komplexa tal, $z \in \mathbb{C}$, genom multiplikation av en fas, $e^{i\theta}$, sådan att

$$z \rightarrow z' = e^{i\theta} z = z e^{i\theta} = e^{i\frac{\theta}{2}} z e^{i\frac{\theta}{2}}.$$

Vi vill nu, på liknande sätt, använda kvaternioner för att rotera vektorer i \mathbb{R}^3 . Kvaternionerna, som vi nedan hänvisar till som \mathbb{H} , är fyrdimensionella additiva objekt med följande egenskaper för sin specifika produkt

$$i^2 = j^2 = k^2 = ijk = -1. \quad (14)$$

Vi kan konstruera samma egenskaper med hjälp av den jämna Cliffordalgebran, $\Delta^{ev}V$, genom att låta

$$\begin{aligned} -e_2 e_3 &= i, \\ e_1 e_3 &= j, \\ -e_1 e_2 &= k, \end{aligned}$$

så vi får, med Cliffordprodukt, samma egenskaper som kvaternionerna. Vi representerar \mathbb{H} som $\mathbb{H} = (\Delta^{ev}V, +, \Delta)$. Vi kan även se att \mathbb{H} är en associativ divisionsalgebra, alltså att varje icke-noll kvaternion är inverterbar. För $q = a + bi + cj + dk$, där $\bar{q} = a - bi - cj - dk$ betecknar konjugatet i \mathbb{H} har vi att $\bar{q}q = a^2 + b^2 + c^2 + d^2 = |q|^2$. q s invers är då $q^{-1} = \bar{q}/|q|^2$.

Vi vill hitta ett sätt att rotera vektorer i \mathbb{R}^3 i ett godtyckligt plan $[j]$ med hjälp av \mathbb{H} . Betrakta först en godtycklig rotation $T \in SO(3)$ och en vinkel φ . Från B.4 följer att det alltid finns en egenvektor till T med egenvärde 1. Välj en ON-bas $\{e_i\}_{i=1}^3$ sådan att $T(e_i) = e_i$. Vi får då att matrisen för T i basen $\{e_i\}$ är

$$T = \begin{bmatrix} 1 & 0 & 0 \\ 0 & \cos \varphi & -\sin \varphi \\ 0 & \sin \varphi & \cos \varphi \end{bmatrix}. \quad (15)$$

För en rotationsmatris gäller

$$T = (T_1 \ T_2 \ T_3) = (Te_1 \ Te_2 \ Te_3). \quad (16)$$

Så varje kolumn i T svarar mot hur respektive basvektor har roterat.

Vi hittar nu en kvaternion q så att vi får samma rotation för respektive basvektorer,

$$\begin{aligned} qe_1q^{-1} &= e_1, \\ qe_2q^{-1} &= \cos \varphi e_2 + \sin \varphi e_3, \\ qe_3q^{-1} &= -\sin \varphi e_2 + \cos \varphi e_3. \end{aligned}$$

Låt $q = \exp(-\varphi j/2) = \cos(\varphi/2) - j \sin(\varphi/2)$. Där $j \in \Delta^2V$ och $|j| = 1$. För e_1 får vi då

$$\begin{aligned} e_1 &= qe_1q^{-1} \\ &= [\cos(\varphi/2) - j \sin(\varphi/2)] e_1 [\cos(\varphi/2) + j \sin(\varphi/2)] \\ &= \cos^2 \varphi e_1 - \cos \frac{\varphi}{2} \sin \frac{\varphi}{2} (je_1 - e_1j) - \sin^2 \frac{\varphi}{2} je_1j = e_1. \end{aligned}$$

Detta gäller vid fallet att $je_1 = e_1j$, samt ekvivalent $-je_1j = e_1$, vilket enligt definitionen för Cliffordprodukten (11) ger att $j = \pm e_{23}$. Vi undersöker nu om detta även gäller för e_2 och e_3 . Om detta gäller har vi hittat en kvaternion för den givna matrisen.

$$\begin{aligned}
qe_2q^{-1} &= \cos \varphi e_2 + \sin \varphi e_3 \\
&= [\cos \frac{\varphi}{2} - j \sin \frac{\varphi}{2}] e_2 [\cos \frac{\varphi}{2} + j \sin \frac{\varphi}{2}] \\
&= \cos^2 \frac{\varphi}{2} e_2 + \cos \frac{\varphi}{2} \sin \frac{\varphi}{2} (e_2j - je_2) - \sin^2 \frac{\varphi}{2} je_2j \\
&= [\cos^2 \frac{\varphi}{2} - \sin^2 \frac{\varphi}{2}] e_2 + \cos \frac{\varphi}{2} \sin \frac{\varphi}{2} (2e_2j) \\
&= \cos \varphi e_2 + \sin \varphi e_2j.
\end{aligned}$$

Här har vi använt de trigonometriska identiteterna

$$\cos^2 \varphi - \sin^2 \varphi = \cos 2\varphi, \quad 2 \cos \varphi \sin \varphi = \sin 2\varphi.$$

Vidare får vi för e_3 ,

$$\begin{aligned}
-\sin \varphi e_2 + \cos \varphi e_3 &= qe_3q^{-1} \\
&= [\cos \frac{\varphi}{2} - j \sin \frac{\varphi}{2}] e_3 [\cos \frac{\varphi}{2} + j \sin \frac{\varphi}{2}] \\
&= \cos^2 \frac{\varphi}{2} e_3 + \cos \frac{\varphi}{2} \sin \frac{\varphi}{2} (e_3j - je_3) - \sin^2 \frac{\varphi}{2} je_3j \\
&= [\cos^2 \frac{\varphi}{2} - \sin^2 \frac{\varphi}{2}] e_3 + \cos \frac{\varphi}{2} \sin \frac{\varphi}{2} (2e_3j) \\
&= \cos \varphi e_3 + \sin \varphi e_3j.
\end{aligned}$$

Vi ser här nu att $e_3j = -e_2$ samt att $e_2j = e_3$, vilket ger att $j = e_23$. Vi har alltså nu hittat en representation för matriser i $SO(3)$ som kvaternioner. För att vi skall få en homomorfi krävs det på grund av konvention att $q = \exp(-\varphi j/2)$ (1). Om vi valt det omvända, $q = \exp(\varphi j/2)$ hade vi fått $j = e_{32}$. Orienteringen på denna bivektor hade då varit motsatt riktningen av rotationen, därför väljer vi $q = \exp(-\varphi j/2)$.

Sats (Rotationer i \mathbb{R}^3). *Låt V vara ett tredimensionellt högerorienterat euklidiskt rum med orientering J . En rotation av $v \in V$ med en vinkel ϕ moturs i planet $[j]$ beskrivs genom*

$$v \rightarrow qvq^{-1}.$$

Där $q = \exp(\frac{b}{2}) \in \text{spin}(V) := \{q \in \Delta^{\text{ev}}V; |q|^2 = 1\}$ och $b = -\phi j$, $j \in \Delta^2V; |j|^2 = 1$.

Vi kan observera här att den grupp av kvaternioner som ger upphov till rotationer, $q \in \text{spin}(V)$ är isomorf med enhetssfären i fyra dimensioner, S^3 . Detta ses tydligast genom att för $q = a + bi + cj + dk \in \text{spin}(V)$ gäller att $|q|^2 = \bar{q}q = a^2 + b^2 + c^2 + d^2 = 1$. Uttrycken $\text{spin}(V)$ och S^3 kommer nedan användas synonymt. Vi kallar ett $q \in \text{spin}(V)$ för en rotor.

Vi undersöker nu strukturen hos dessa rotationer. Antag att vi har två olika kvaternioner, q_1 och q_2 , som båda ger samma rotation.

$$q_1vq_1^{-1} = q_2vq_2^{-1}. \quad (17)$$

Genom att multiplicera från vänster med q_2^{-1} och från höger med q_1 ges

$$q_2^{-1}q_1v = vq_2^{-1}q_1. \quad (18)$$

Alltså kommuterar v med $q_2^{-1}q_1$.

Vi vet att skalärer är kommutativa och att addition är en kommutativ operation. Det vi behöver undersöka nu är om rena kvaternioner, bivektorer, kommuterar med vektorer.

Vi vet att Cliffordprodukten är antikommutativ för vektorer enligt ekv. (11).

$$e_i e_{jk} = \begin{cases} -e_{jk} e_i & \text{om } i = j \text{ eller } i = k \\ e_{jk} e_i & \text{om } i = j = k \text{ eller } k \neq i \neq j \end{cases} \quad (19)$$

Vad vi kan se är att om vektorn e_i är en del av bivektorn, t.ex $e_1 e_{31}$, så gör den ett ojämnt antal ”hopp” och resulterar därför i antikommutativitet, och vice versa om e_i inte ligger i bivektorn. Men vi kan hitta q_2^{-1} och q_1 så att vi får en bivektordel som inte kommuterar måste bivektordelen vara 0. Det enda som återstår är då en skalär. Då $\text{spin}(V)$ är sluten under Cliffordprodukten så måste $q_2^{-1} q_1 \in \text{spin}(V)$ och därmed

$$q_2^{-1} q_1 = \pm 1 \rightarrow q_1 = \pm q_2. \quad (20)$$

Vi har alltså för en given rotation T finns det exakt två kvaternioner $\pm q \in \text{spin}(V)$ som svarar mot rotationen. Dessa två är antipodala kvaternioner på S^3 . Vi kan nu, med samma metod som ovan, få fram rotationsmatrisen T för ett godtyckligt $q = \exp(-\theta j/2)$, där $j = ae_{32} + be_{13} + ce_{21}$, $a^2 + b^2 + c^2 = 1$ ges av

$$\begin{bmatrix} \cos^2(\theta/2) + \sin^2(\theta/2)(a^2 - b^2 - c^2) & 2ab \sin^2(\theta/2) - c \sin(\theta) & 2ac \sin^2(\theta/2) + b \sin(\theta) \\ 2ab \sin^2(\theta/2) + c \sin(\theta) & \cos^2(\theta/2) + \sin^2(\theta/2)(-a^2 + b^2 - c^2) & 2b \sin^2(\theta/2) - a \sin(\theta) \\ 2ac \sin^2(\theta/2) - b \sin(\theta) & 2bc \sin^2(\theta/2) + a \sin(\theta) & \cos^2(\theta/2) + \sin^2(\theta/2)(-a^2 - b^2 + c^2) \end{bmatrix}. \quad (21)$$

Härledning för denna finns i appendix B.3.

Vi vill nu hitta en invers så att vi, för en given rotationsmatris, kan få fram rotationsaxel och vinkel. Vi kan givetvis få fram den givna kvaternionen från rotationsmatrisen genom att jämföra med ekv. (21). Men detta kräver mycket arbete. Istället kan vi definiera Cliffordspåret $Tr_C(R)$ (1) som

$$Tr_C(R) := \sum_i e_i \Delta R(e_i). \quad (22)$$

Vi får då

$$\begin{aligned} Tr_C(R) &= e_1 \Delta (R_{11}e_1 + R_{21}e_2 + R_{31}e_3) + \\ &\quad e_2 \Delta (R_{12}e_1 + R_{22}e_2 + R_{32}e_3) + \\ &\quad e_3 \Delta (R_{13}e_1 + R_{23}e_2 + R_{33}e_3) = \\ &Tr(R) + e_{12}(R_{21} - R_{12}) + e_{13}(R_{31} - R_{13}) + e_{23}(R_{32} - R_{23}). \end{aligned} \quad (23)$$

Där $Tr(R)$ representerar det vanliga spåret hos matrisen, $Tr(A) := \sum_n a_{nn}$. Alltså sumeringen av diagonalelementen.

Anta att vi nu vet rotationsaxeln. Låt $\{\tilde{e}_i\}$ vara en ON-bas för V , där $j = \tilde{e}_2 \wedge \tilde{e}_3$ är bivektorn parallel med planet för rotationen. Rotationsmatrisen i basen $\{e'_i\}$ kommer då att bli

$$R = \begin{bmatrix} 1 & 0 & 0 \\ 0 & \cos \phi & -\sin \phi \\ 0 & \sin \phi & \cos \phi \end{bmatrix}. \quad (24)$$

Cliffordspåret kommer nu, med ekv. (23) att bli

$$Tr_C(R) = 1 + 2(\cos \phi + j \sin \phi). \quad (25)$$

Cliffordspåret är invariant till val av bas enligt följande lemma.

Lemma. För en linjär avbildning T har vi att Cliffordspåret är invariant till val av bas. Alltså för två baser $\{e_i\}$ och $\{\tilde{e}_i\}$ Har vi att

$$\text{Tr}_C(T_{e_i}) = \text{Tr}_C(T_{\tilde{e}_i}).$$

Där indexet då representerar avbildningen i de två baserna.

Bevis. Låt $\{\tilde{e}_i\}$ vara en ON-bas till V där $\tilde{e}_i = \sum_j a_{j,i} e_j$ där e_j är basvektorer i standardbasen. Basbytesmatrisen A är ortogonal. Vidare gäller att

$$\begin{aligned} \langle \tilde{e}_i, \tilde{e}_k \rangle &= \left\langle \sum_j a_{j,i} e_j, \sum_p a_{p,k} e_p \right\rangle \\ &= \sum_j a_{j,i} \sum_p a_{p,k} \langle e_j, e_p \rangle = \sum_j a_{j,i} a_{j,k} = \delta_{ik}. \end{aligned} \quad (26)$$

Cliffordspåret i basen \tilde{e}_j blir nu

$$\begin{aligned} \text{Tr}_C(T) &= \sum_i \sum_j a_{j,i} e_j \Delta T \left(\sum_k a_{k,i} e_k \right) \\ &= \sum_i \sum_j a_{j,i} e_j \Delta \sum_k a_{k,i} T(e_k) \\ &= \sum_i \sum_j \sum_k a_{j,i} a_{k,i} e_j \Delta T(e_k). \end{aligned} \quad (27)$$

Då summation är kommutativ spelar det ingen roll vilken summa vi tar först. Vidare, då A är ortogonal, är även A^T . Vi får då

$$\begin{aligned} \text{Tr}_C(T) &= \sum_j \sum_k \sum_i a_{j,i} a_{k,i} e_j \Delta T(e_k) \\ &= \sum_j \sum_k \delta_{jk} e_j \Delta T(e_k) \\ &= \sum_j e_j \Delta T(e_j) = \text{Tr}_C(T). \end{aligned} \quad (28)$$

□

Vi kan nu, genom att termjämföra ekv. (23) och (25), få fram ϕ och j som

$$\begin{aligned} \phi &= \arccos\left(\frac{\text{Tr}(R) - 1}{2}\right), \\ j &= \frac{1}{\sin(\phi)} \left[e_{12}(R_{21} - R_{12}) + e_{13}(R_{31} - R_{13}) + e_{23}(R_{32} - R_{23}) \right]. \end{aligned} \quad (29)$$

3.2 Kontinuerliga rotationer och spinn

Än så länge har vi att för varje rotation finns det exakt 2 punkter på S^3 som motsvarar en rotation. Vi skall nu undersöka vad som händer med ett system när vi roterar det kontinuerligt.

3.2.1 Parametrisering av S^3

Då S^3 är en tredimensionell mångfald inbäddad i 4D är det svårt att visualisera den på ett bra sätt. Det som vi gör här är att vi lyfter alla punkter på S^3 till ett klot i $\Delta^2 V$. Betrakta funktionen

$$\begin{aligned} p : \Delta^2 V &\rightarrow S^3, \\ p : b &\rightarrow q. \end{aligned} \tag{30}$$

Där $b \in \Delta^2 V$. Vi skriver det som $b = \phi j$, där $\phi = |b| \pmod{4\pi}$ och $j = \frac{b}{|b|}$. Vidare så har p formen $p(b) = \exp(b/2) = \cos(\phi/2) + j \sin(\phi/2)$.

Randen, där $|b| = 2\pi + 4\pi k$, $k = 0, 1, 2, \dots$ Alla punkter är identifierade med samma kvaternion $q = -1$. Vi ser här att för $|b| = 4\pi k$ är $p(b) = 1$. Vidare för $|b| = \pi + 2\pi k$ så har vi att $p(b) = b$. Vi har att p en bijektiv avbildning för $|b| < 2\pi$ på grund av injektiviteten hos exponentialfunktionen.

3.2.2 S^3 enkelt sammanhängande

För en mångfald som är enkelt sammanhängande betyder det att alla slutna kurvor är homotopa, vidare nollhomotopa.

Vi kommer här att bevisa att S^3 är enkelt sammanhängande. Betrakta en sluten, kontinuerlig kurva på S^3 som inte går genom -1 ,

$$\begin{aligned} \gamma : [0, 1] &\rightarrow S^3, \\ \gamma(0) &= \gamma(1) = \hat{q}, \end{aligned} \tag{31}$$

där \hat{q} är en fix punkt. Vi lyfter γ till bivektorklotet $\Delta^2 V$ genom ekv. (30). Vi har nu en kurva, $p^{-1}(\gamma(t))$ i $\Delta^2 V$. Vi vill hitta en homotopi mellan denna kurva och dess startpunkt, \hat{q} . Låt

$$\begin{aligned} [0, 1] \times [0, 1] &\rightarrow \Delta_{2\pi}^2 V : (s, t) \rightarrow \Gamma(s, t), \\ \Gamma(s, t) &= p^{-1}(\gamma(t)) + s(p^{-1}(\hat{q}) - p^{-1}(\gamma(t))) \end{aligned} \tag{32}$$

vara en yta genom $\Delta^2 V$. Vi ser att $\Gamma(0, t) = p^{-1}(\gamma(t))$, medan $\Gamma(1, t) = p^{-1}(\hat{q})$. Alltså, Γ kan kontinuerligt deformeras från $p^{-1}(\gamma(t))$ till $p^{-1}(\hat{q})$. För fallet när kurvan går genom sydpolen, -1 , kan vi låta den undvika sydpolen innan vi lyfter den med p genom att t.ex låta kurvan gå i en liten halvcirkel runt sydpolen.

Alla slutna kurvor på S^3 är därmed homotopa. Fundamentalgruppen är den grupp av skilda ekvivalensklasser för en given mängd. I detta fallet de slutna kurvor som ej är homotopa. Fundamentalgruppen för S^3 är då $\pi_1(S^3) = \{1\}$.

3.2.3 Fundamentalgruppen för $SO(3)$

Vi vill nu undersöka slutna rotationskurvor i $SO(3)$ för att kunna påvisa \mathbf{Z}_2 -minnet.

Anta på samma sätt som i ekv. (31) en kontinuerlig kurva genom $SO(3)$,

$$\begin{aligned} T : t \in [0, 1] &\rightarrow SO(3), \\ T(0) &= T(1) = I. \end{aligned} \tag{33}$$

På samma sätt som vi lyfte en kurva på S^3 till $\Delta^2 V$ vill vi nu lyfta $T(t)$ till S^3 . Vi har en homomorfi från kvaternioner på S^3 till matriser i $SO(3)$

$$\begin{aligned} \hat{p} : S^3 &\rightarrow SO(3), \\ T &\rightarrow q. \end{aligned} \tag{34}$$

Formen för denna homomorfi kan t.ex ges från den allmänna rotationsmatrisen i ekv. (21). Skillnaden mellan lyftet i ekv. (34) och lyftet i ekv. (30) är att för varje $T \in SO(3)$ finns $\pm q \in S^3$. Vi har alltså surjektivitet men inte injektivitet. Vi kan dock få en typ av lokal injektivitet genom att bara betrakta en av dessa kvaternioner. Då de två kvaternionerna, som motsvarar samma $T \in SO(3)$, är antipodala kommer deras vägar aldrig korsas om vi gör en liten förflyttning av T . Vi får alltså en lokal isomorfi från $S^3 \rightarrow SO(3)$ när vi betraktar kontinuerliga rotationer och bara betraktar ett $q \in S^3$. Vi låter nu \hat{p}^{-1} vara inversen. Vi har då att

$$\begin{aligned}\hat{p}^{-1} \circ T(t) &: SO(3) \rightarrow S^3, \\ \hat{p} \circ T(0) &= 1.\end{aligned}\tag{35}$$

Så kurvan på S^3 börjar på 1 och kommer nu att röra sig över sfären. När t närmar sig 1 finns det nu två olika punkter den kan sluta på. Då $\hat{p}^{-1} \circ T(I) = \pm 1$ så kommer kurvan att sluta på antingen 1 eller -1. Det finns alltså två skilda vägar som inte tillhör samma ekvivalensklass. Den ena, som är sluten på S^3 och därmed motsvarar nollhomotop, är samma system som vi började med. Den kurva som går från nordpol till sydpol motsvarar inte längre samma system, även om det ser likadant ut. Denna kurva är homotop med en kurva som motsvarar rotation av 2π radianer runt en valfri axel, vilket vi kan se genom lyftet p i ekv. (30). Den kurva som är sluten är vidare homotop med en kurva som går ner till -1 och sedan upp på andra sidan av S^3 . Alltså en rotation av 4π radianer runt en given axel. Det följer från dessa två skilda kurvor att fundamentalgruppen för rotationsgruppen i tre dimensioner är

$$\pi_1(SO(3)) = \{1, -1\} := \mathbf{Z}_2.\tag{36}$$

Detta avslutar nu avsnittet om rotationer i \mathbb{R}^3 . Vi har visat hur vi väldigt enkelt kan rotera vektorer med hjälp av kvaternioner. Men vi kan inte längre använda $SO(3)$ för att beskriva rotationer av objekt som har detta \mathbf{Z}_2 -minne. Vi kommer nu att flytta fokus från vektorer till spinorer.

4 Spinorer

\mathbf{Z}_2 -minnet återkommer, som vi nämnt, till exempel inom kvantmekaniken. En elektron vars spinn-tillstånd har roterat 2π radianer är inte längre i sitt ursprungliga grundtillstånd utan har istället hamnat i motsatt tillstånd.

Vad vi menar med tillstånd och rotation här är ett kvantmekaniskt tillstånd, och en rotation här är en rotation i tillståndsrummet (dock är denna relaterad till en "fysikalisk rotation", som betar sig mer normalt, med en period på 2π): $|\psi\rangle = \psi^+ |+\rangle + \psi^- |-\rangle$, där ψ^+, ψ^- är komplexa tal, och $|+\rangle, |-\rangle$ är tillstånden "spinn upp" respektive "spinn ned", ett kvantmekaniskt tillstånd motsvarar en sannolikhet i den mening att exempelvis om man mäter ett system i tillstånd $|\psi\rangle$ i "spinn upp/ned" riktningen är $\langle +|\psi\rangle$ sannolikheten att man får ett mätvärde i "spinn upp", där $+ \psi$ är en seskvilinjär skalärprodukt mellan det kvantmekaniska tillståndsrummet (beskrivs med $|\rangle$, en "cket") som är ett Hilbertrum, och dess duala rum (beskrivs med $\langle|$, en "bra", tillsammans utgör de "bracket" notationen).

I kvantmekaniken finns "operatorer", objekt som kan ändra ett tillstånd, och om en operator A är hermitesk är $\langle a|A|a\rangle$ ett väntevärde som motsvarar en observabel som man kan mäta. Tidsutvecklingen hos ett kvantmekaniskt system är beroende av dess hamiltonian, H , som alltid är hermitesk och om hamiltonianen är tidsberoende fås evolutionen som en operator $\exp(-iHt/\hbar)$ (specifikt är tidsutvecklingen hos ett system dess tillstånd vid specifika tidpunkter, och blir $\exp(-iHt/\hbar)|t_0\rangle$, där $|t_0\rangle$ är tillståndet i tid $|t_0\rangle$, för det tillstånd som intresserar oss). Det fall som intresserar oss är när en elektron befinner sig i ett externt statiskt (tidsberoende) magnetfält, och hamiltonianen kan då skrivas som $H = \omega S_z$, där $\omega = |e|B/(m_e c)$.

Tidsutvecklingen ges då av $\exp(-i\omega S_z/\hbar)|\psi\rangle = \exp(-i\omega t S_z/\hbar)(\psi^+ |+\rangle + \psi^- |-\rangle) = \psi^+ e^{(-i\omega/\hbar)S_z} |+\rangle + \psi^- e^{(-i\omega t/\hbar)S_z} |-\rangle = \psi^+ e^{-i\omega t/2} |+\rangle + \psi^- e^{i\omega t/2} |-\rangle$. Detta är eftersom $|+\rangle, |-\rangle$ är spinn-tillstånd i z-led, och är därmed egentillstånd (motsvarar egenvektorer) till S_z operatoren. Den har egenvärden $\pm\hbar/2$ ($\exp(A)$ för operatoren A betraktas i stort på samma sätt som om A vore en matris, i detta fall kan operatoren S_z till och med beskrivas med en matris. Med andra ord eftersom $|+\rangle, |-\rangle$ är egentillstånd till S_z med egenvärden $\pm\hbar/2$ är de även egentillstånd till $\exp(S_z)$ med egenvärden $e^{\pm\hbar/2}$). Om man betraktar tidsutvecklingen för $|\psi\rangle$ ser man i exponentialen $\pm i\omega t/2$. Division med 2 innebär att vi får en period $T = 4\pi/\omega$, vilket är en annan precession än den som skulle vara om man mäter på egenvärdet $\langle\psi|S_z|\psi\rangle$, det vill säga om man mäter väntevärdet på spinn i z-led, som har period $T = 2\pi/\omega$. Det kommer senare i texten uppdragas för läsaren att tillståndet vi bemärkte med $|\psi\rangle$ i inledningen är en spinor, vars natur kommer gås igenom i texten.

Så med "motsatt tillstånd" här menas inte övergång i stil med "spinn upp" \rightarrow "spinn ned" utan istället $|\psi\rangle \rightarrow -|\psi\rangle$, eller "spinn upp" \rightarrow "minus spinn upp". Denna övergång är dock mätbar, med exempelvis neutroninterferometri.

Om läsaren vill fördjupa sig i ämnet rekommenderas varmt (3).

\mathbf{Z}_2 -minnet hos elektroner medför att $SO(3)$ inte kan beskriva en elektrons spinn. Vad som krävs är en representation av $spin(V)$, ρ , sådan att $\rho(-1) = -I$. Vi kommer i detta avsnitt gå in på just detta. Vi definierar en representation ρ från den jämna Cliffordalgebran till algebran av matriser för ett tillhörande spinorrum. Spinorrummet är alltså ett rum som existerar med ett tillhörande vektorrum. Vi kommer senare visa att spinorrummet är oberoende av hur vi representerar Cliffordalgebran. De olika representationerna är relaterade via basbyte.

4.1 Grupprepresentation

Vi kommer nu att börja titta på spinorrummet. Vi definierar först en grupprepresentation av $spin(V)$ som en slät grupp-homomorfism från $spin(V)$ till matriser för ett linjärt rum

$$\begin{aligned}\rho &: \text{spin}(V) \rightarrow \mathcal{L}(S), \\ \rho(-q) &= -\rho(q).\end{aligned}\tag{37}$$

Vi får en injektiv representation så att för varje matris i bilden av ρ finns det exakt en rotor i $\text{spin}(V)$. På samma sätt som bivektorer kan användas för att rotera vektorer kan de även användas för rotation av spinorer. För en representation med egenskapen att $\rho(-q) = -\rho(q)$ kallar vi S för ett spinorrum. Spinorerna är då de objekt som matriserna i $\mathcal{L}(S)$ opererar på.

Vi kommer att ta fram matrisrepresentationer av Cliffordalgebran då $\text{spin}(V) \subset \mathbb{H} \subset \Delta V$ och så kommer vi, genom våra representationer av ΔV , även att få en grupprepresentation för $\text{spin}(V)$.

4.2 Dimensionsanalys

Vi kommer återigen att begränsa oss till att $V = \mathbb{R}^3$. Vi har då att $\dim_{\mathbb{R}}(\Delta V) = 8$. Vi kommer här att ta fram representationer till tvådimensionella komplexa matriser. Algebran för dessa matriser betecknas $\mathcal{L}(\mathbb{C}^2)$. Vi vill hitta en isomorfi mellan Cliffordalgebran och matriserna för spinorrummet. För att kunna täcka hela matrisalgebran behöver vi att dimensionerna är samma, i detta fallet är både definitionsmängd och värdemängd 8 dimensionellt. Skillnaden är dock att vi går från en reell algebra till en komplex. Genom att låta trivektorn $e_{123} := J$ har vi att $J^2 = -1$. Vidare kan vi skriva en multivektor i Cliffordalgebran som $w = w_0 + w_1$, där $w_0 \in \Delta^{ev}V$ och $w_1 \in \Delta^{od}V$. Vi låter nu $w_1 = Jw_2$, där $w_2 \in \Delta^{ev}V$. Det vi ser nu som att ΔV är isomorft med de komplexa kvaternionerna \mathbb{H}_c . Vi skriver en komplex kvaternion som $q_c = q_1 + Jq_2$, där q_1 och q_2 båda är reella kvaternioner enligt representationen vi gjorde i avsnitt 3.1. Vi har nu en komplex algebra \mathbb{H}_c sådan att $\dim_{\mathbb{R}}(\mathbb{H}_c) = 8 = \dim_{\mathbb{R}}(\mathcal{L}(\mathbb{C}^2))$. Vi kan nu hitta en isomorfi mellan de komplexa kvaternionerna och matriser i $\mathcal{L}(\mathbb{C}^2)$.

4.3 Matrisrepresentationer av Cliffordalgebran

Här kommer vi att ta fram matrisrepresentationer av Cliffordalgebran och visa att de olika representationerna inte påverkar strukturen hos spinorrummet utan förser oss endast med ett annat perspektiv av det.

4.4 Matriser för Cliffordalgebran

I detta avsnitt kommer vi att visa hur vi kan representera underalgebror hos Cliffordalgebran med matriser. En algebrahomomorfi är en homomorfi $\rho : \Delta V \rightarrow \mathcal{L}(S)$, sådan att för $w \in \Delta V$,

$$\rho(w)^2 = \rho(w^2) = \rho(\langle w \rangle^2) = \langle w \rangle^2 I.$$

4.4.1 Komplexa matriser som reella matriser

Vi vill först hitta ett sätt att beskriva komplexa matriser som reella matriser.

Vi tittar först på det endimensionella fallet för \mathbb{C}

$$\varphi_1 : \mathcal{L}(\mathbb{C}) \longrightarrow \mathcal{L}(R^2) = \Delta R^2 \implies \varphi_1(a + bi) := \begin{bmatrix} a & b \\ -b & a \end{bmatrix}, a, b \in R^2.\tag{38}$$

Det går lätt att visa att φ_1 är en injektiv homomorfi, det är dock ingen isomorfi då den ej är surjektiv.

Vi går nu vidare genom att utvidga φ_1 till komplexa 2 x 2-matriser. Vi får för $z_i = a_i + ib_i$,

$$\begin{aligned}
\varphi_2 : \mathcal{L}(\mathbb{C}^2) &\rightarrow \mathcal{L}(\mathbb{R}^4), \\
\begin{bmatrix} z_1 & z_2 \\ z_3 & z_4 \end{bmatrix} &= \begin{bmatrix} a_1 + ib_1 & a_2 + ib_2 \\ a_3 + ib_3 & a_4 + ib_4 \end{bmatrix} \rightarrow \begin{bmatrix} \varphi_1(a_1 + ib_1) & \varphi_1(a_2 + ib_2) \\ \varphi_1(a_3 + ib_3) & \varphi_1(a_4 + ib_4) \end{bmatrix} \\
&= \begin{bmatrix} a_1 & b_1 & a_2 & b_2 \\ -b_1 & a_1 & -b_2 & a_2 \\ a_3 & b_3 & a_4 & b_4 \\ -b_3 & a_3 & -b_4 & a_4 \end{bmatrix}.
\end{aligned} \tag{39}$$

Funktionen $\varphi_2 : \mathcal{L}(\mathbb{C}^2) \rightarrow \mathcal{L}(\mathbb{R}^4)$ är en injektiv homomorfi.

Vi kan även hitta en isomorfi för vektorerna som dessa matriser verkar på sådan att

$$\begin{aligned}
\varrho : \mathbb{C}^2 &\rightarrow \mathbb{R}^4, \\
\begin{bmatrix} z \\ w \end{bmatrix} &= \begin{bmatrix} a_1 + ib_1 \\ a_2 + ib_2 \end{bmatrix} \rightarrow \begin{bmatrix} a_1 \\ b_1 \\ a_2 \\ b_2 \end{bmatrix} \in \mathbb{R}^4.
\end{aligned}$$

4.4.2 Representation av kvaternioner som komplexa matriser

Vi ska nu ta fram de två representationer för kvaternionerna vi kommer att använda i detta arbete. Vi vill hitta en isomorfi $\rho : \mathbb{H}_c \rightarrow \mathcal{L}(\mathbb{C}^2)$, där är \mathbb{H}_c enligt ovan isomorft med $\Delta\mathbb{R}^3$.

Vi kommer först att betrakta representationer av reella kvaternioner \mathbb{H} , så att för $q = a + bi + cj + dk \in \mathbb{H}$, där $a, b, c, d \in \mathbb{R}$. q kan skrivas som $q = a + bi + cj + dij = (a + bi) + (c + di)j = z + wj$. Vi kan nu använda oss utav φ_1 för att ta fram en liknande homomorfi för kvaternionerna. Från (2), får vi en representation

$$\begin{aligned}
\rho_1 : \mathbb{H} &\rightarrow \mathcal{L}(\mathbb{C}^2), \\
\rho_1(z + wj) &:= \begin{bmatrix} z & w \\ -\bar{w} & \bar{z} \end{bmatrix}.
\end{aligned} \tag{40}$$

Där är \bar{w}, \bar{z} respektiv komplex konjugation av w och z .

Från (1) får vi nu ytterligare en representation för \mathbb{H} ,

$$\begin{aligned}
\rho_2 : \mathbb{H} &\rightarrow \mathcal{L}(\mathbb{C}^2), \\
\rho_2(q = a + bi + cj + dk) &= \begin{bmatrix} a - ci & d - bi \\ -d - bi & a + ci \end{bmatrix}.
\end{aligned} \tag{41}$$

För att nu få en isomorfi behöver vi att dessa representationer kan utvidgas till de komplexa kvaternionerna $q = a + bi + cj + dk$, där $a, b, c, d \in \Delta^0 V \oplus \Delta^3 V$ alltså är tal med den komplexa struktur J som ansattes i 4.2. Låt nu $\rho : \mathbb{H} \rightarrow \mathcal{L}(\mathbb{C})^2$ vara en homomorfi. Vi komplexifierar avbildningen ρ till $\tilde{\rho} : \mathbb{H}_c \rightarrow \mathcal{L}(\mathbb{C}^2)$ sådan att för den komplexa strukturen J har vi att $\tilde{\rho}(J) = iI$, där $i \in \mathbb{C}$. En kvaternion $\mathbb{H}_c \ni q = q_1 + Jq_2$ representeras nu genom $\tilde{\rho}(q) = \rho(q_1) + i\rho(q_2)$. Det följer av de homomorfa egenskaperna hos ρ att detta är en giltig komplexifiering. Det följer från appendix B.2 att ρ_1 och ρ_2 är homomorfier. Vi utvidgar nu dessa till att även representera de komplexa kvaternionerna. Vi har nu två surjektiva homomorfier från ΔV till $\mathcal{L}(\mathbb{C}^2)$. Vad som är kvar att visa är injektivitet.

Lemma (Injektivitet hos representationer). *En representation $\rho : \mathbb{H} \rightarrow \mathcal{L}(\mathbb{C}^2)$ som är en homomorfi är också injektiv.*

Bevis. Låt $\rho : \mathbb{H}_c \rightarrow \mathcal{L}(\mathbb{C}^2)$ vara en homomorfi som ovan. För att ρ skall vara injektiv gäller att $\rho(q) = 0$ om och endast om $q = 0$. Då representationen $q = a + bi + cj + dk$ är linjär följer att,

$$\rho(q) = \rho(a + bi + cj + dk) = a\rho(1) + b\rho(i) + c\rho(j) + d\rho(k) = 0.$$

Vi multiplicerar nu från vänster med konjugatet $\rho(\bar{q})$,

$$\begin{aligned} \rho(\bar{q})\rho(q) &= \rho(\bar{q}q) \\ &= \rho(a^2 + b^2 + c^2 + d^2) \\ &= (a^2 + b^2 + c^2 + d^2)\rho(1) = \rho(\bar{q})0 = 0. \end{aligned}$$

Detta gäller endast om $a^2 + b^2 + c^2 + d^2 = 0 \Leftrightarrow a = b = c = d = 0$. Vi ser nu att om ρ är en homomorfi gäller för $\rho(q_1) = \rho(q_2) \Leftrightarrow \rho(q_1 - q_2) = 0 \Leftrightarrow q_1 = q_2$, vilket visar injektivitet. \square

Vi har nu alltså två isomorfier som båda representerar Cliffordalgebran till V .

4.4.3 Koppling mellan representationerna

Vi ska här visa relationerna mellan två representationer av Cliffordalgebran. Vi kommer hitta en automorfi mellan representationerna som relaterar dessa via basbyte.

Vi har våra två representationer av kvaternionerna.

$$\begin{aligned} \rho_1 &: \mathbb{H}_c \rightarrow \mathcal{L}(\mathbb{C}), \\ \rho_2 &: \mathbb{H}_c \rightarrow \mathcal{L}(\mathbb{C}), \\ \rho_1(a + bi + cj + dk) &= \begin{bmatrix} a + bi & c + di \\ -c + di & a - bi \end{bmatrix}, \\ \rho_2(a + bi + cj + dk) &= \begin{bmatrix} a - ci & d - bi \\ -d - bi & a + ci \end{bmatrix}. \end{aligned} \tag{42}$$

Vi undersöker nu relationerna mellan dessa. Båda två avbildar 1 på I och -1 på $-I$. $\mathcal{L}(\mathbb{C}^2)$ är därmed fortfarande operatorer till ett tillhörande spinorrum. Vi vill nu hitta en koppling mellan dessa två representationer. Vi kan definiera en automorfi $\phi : \mathcal{L}(\mathbb{C}) \rightarrow \mathcal{L}(\mathbb{C})$ sådan att

$$\phi(\rho_1(q)) = \rho_2(q). \tag{43}$$

För $\rho_1(q) = M \in \mathcal{L}(\mathbb{C}^2)$ har vi då att $\phi(M) = \rho_2 \circ \rho_1^{-1}(M) = \rho_2 \circ \rho_1^{-1}(\rho_1(q)) = \rho_2(q)$, vilket är vad vi letar efter. Denna automorfi är väldefinierad då inversen existerar. Låt oss nu observera strukturen hos dessa två representationer,

$$\begin{aligned} \rho_1(1) &= I = \rho_2(1), \\ \rho_1(-1) &= -I = \rho_2(-1), \\ \rho_1(i) &= \begin{bmatrix} i & 0 \\ 0 & -i \end{bmatrix} = \rho_2(-j), \\ \rho_1(j) &= \begin{bmatrix} 0 & 1 \\ -1 & 0 \end{bmatrix} = \rho_2(k), \\ \rho_1(k) &= \begin{bmatrix} 0 & i \\ i & 0 \end{bmatrix} = \rho_2(-i). \end{aligned} \tag{44}$$

Så vi har att för $q \in \mathbb{H}$,

$$\begin{aligned} \pm 1 &\rightarrow \pm 1, \\ i &\rightarrow -j, \\ j &\rightarrow k, \\ k &\rightarrow -i. \end{aligned} \tag{45}$$

Vi försöker nu hitta ett $q_s = a + bi + cj + dk$, så $q \rightarrow q_s q q_s^{-1}$ som ger samma struktur som ekv. (45) ovan.

$$q_s i = -j q_s \Leftrightarrow ai - b - ck + dj = -aj + bk + c - di, \quad (46)$$

detta ger $c = -b$, $d = -a$.

$$q_s j = -k q_s \Leftrightarrow aj + bk + b + ai = -ak - bj - bi - a, \quad (47)$$

detta ger $a = -b$. Vi har därmed $q_s = a - ai + aj - ak$ normerar vi detta får vi $a = 1/2$. ρ_1 och ρ_2 är därmed relaterade med en rotation i \mathbb{H} . Vi har alltså

$$\rho_1(q_s q q_s^{-1}) = \rho_1(q_s) \rho_1(q) \rho_1(q_s^{-1}) = \rho_2(q). \quad (48)$$

Matrisen $\rho_1(q_s)$ ser ut som

$$\rho_1(q_s) = T = \frac{1}{2} \begin{bmatrix} 1-i & 1-i \\ -1-i & 1+i \end{bmatrix}. \quad (49)$$

Vi har nu en automorfi ϕ sådan att

$$\phi(\rho_1(q)) = T \rho_1(q) T^{-1} = \rho_2(q). \quad (50)$$

Vi ser här att dessa två representationer är relaterade via ett basbyte enligt appendix B.1. Det visar sig faktiskt att alla representationer för $\mathcal{L}(\mathbb{C}^2)$ är relaterade via ett basbyte. Detta summeras i satsen nedan.

Sats (Automorfer i $\mathcal{L}(S)$ då $\dim_{\mathbb{C}}(S) = 2$). *Algebran för matriser till ett vektorrum S av komplex dimension 2 är komplett, i den meningen att för varje automorfi $\phi : \mathcal{L}(S) \rightarrow \mathcal{L}(S)$, $\exists T \in \mathcal{L}(S)$ så att $\phi(X) = T X T^{-1}$, $\forall X \in \mathcal{L}(S)$. T är unik upp till multiplikation med skalär.*

Bevis. (1) Detta bevis är tvådelat. Låt först, $v = \begin{bmatrix} v_1 \\ v_2 \end{bmatrix}$, $X = v \begin{bmatrix} 1 & 0 \end{bmatrix} = \begin{bmatrix} v_1 & 0 \\ v_2 & 0 \end{bmatrix}$ och $E = \begin{bmatrix} 0 & 0 \\ 1 & 1 \end{bmatrix}$.

Eftersom E inte är inverterbar är inte heller $\phi(E)$ det, med andra ord kolumnerna i $\phi(E)$ är linjärt beroende. Låt nu $\{e_i\}$ vara en ON-bas för S så att e_1 är parallell med kolumnerna i $(\phi(E))$, vidare låt $e_2 = \begin{bmatrix} x_1 \\ x_2 \end{bmatrix}$.

Vi ser att

$$X E = 0 \Rightarrow \phi(X E) = \phi(X) \phi(E) = 0,$$

då är kolumnerna i $\phi(E) \parallel e_1$. Detta är ekvivalent med att $\phi(X) e_1 = 0$.

Vi har nu att

$$\begin{aligned} \phi(X) &= \phi(X) I = \\ &= \phi(X) (e_1 e_1^\top + e_2 e_2^\top) = \phi(X) e_2 e_2^\top. \end{aligned}$$

Låter vi nu

$$A v := \phi(X) e_2.$$

Får vi genom multiplikation från vänster av e_2^\top ,

$$\phi(X) = A v \begin{bmatrix} x_1 & x_2 \end{bmatrix}.$$

Med liknande argumentation kan vi visa att för en matris $U = \begin{bmatrix} 1 \\ 0 \end{bmatrix} u^\top = \begin{bmatrix} 0 & 0 \\ u_1 & u_2 \end{bmatrix}$.

$$\phi(U) = \begin{bmatrix} y_1 \\ y_2 \end{bmatrix} u^\top B,$$

där $u = \begin{bmatrix} u_1 \\ u_2 \end{bmatrix}$.

Vidare gäller att

$$\begin{aligned} \phi(vu^\top) &= \phi(v \begin{bmatrix} 1 & 0 \\ 0 & 1 \end{bmatrix} u^\top) \\ &= \phi(X)\phi(U) = Av \begin{bmatrix} x_1 & x_2 \end{bmatrix} \begin{bmatrix} y_1 \\ y_2 \end{bmatrix} u^\top B \\ &= \lambda Avu^\top B, \end{aligned}$$

där $\lambda = \begin{bmatrix} x_1 & x_2 \end{bmatrix} \begin{bmatrix} y_1 \\ y_2 \end{bmatrix}$. Låt nu $T := \lambda A$. Vi har då $\forall u, v \in S : \phi(vu^\top) = Avu^\top B$.

Låt oss nu titta närmare på

$$\begin{aligned} \phi(v_1 u_1^\top v_2 u_2^\top) &= \phi(v_1 \langle u_1, v_2 \rangle u_2^\top) = \langle u_1, v_2 \rangle \phi(v_1 u_2^\top) \\ &= \langle u_1, v_2 \rangle T v_1 u_2^\top B. \end{aligned} \tag{51}$$

Samtidigt har vi att

$$\phi(v_1 u_1^\top v_2 u_2^\top) = \phi(v_1 u_1^\top) \phi(v_2 u_2^\top) = T v_1 u_1^\top B T v_2 u_2^\top B.$$

Vi ser nu att

$$\langle u_1, v_2 \rangle T v_1 u_2^\top B = A v_1 u_1^\top B T v_2 u_2^\top B.$$

Vi flyttar in $\langle u_1, v_2 \rangle$,

$$T v_1 u_1^\top v_2 u_2^\top B = T v_1 u_1^\top B T v_2 u_2^\top B.$$

Här kan vi deducera att $BT = I \Leftrightarrow B = T^{-1}$ alltså för matriser på formen vu^\top ,

$$\phi(vu^\top) = T v u^\top T^{-1}.$$

För godtyckliga matriser kan vi skriva dessa som en linjärkombination utav matriser på formen vu^\top . Vi kan sedan använda linjäriteten hos automorfin och får då att

$$\phi(X) = T X T^{-1} \quad \forall X \in \mathcal{L}(S).$$

Att de är unika ses lättast genom

$$T_1 X T_1^{-1} = T_2 X T_2^{-1} \Leftrightarrow T_2^{-1} T_1 X = X T_2^{-1} T_1.$$

Med X godtycklig har vi att $T_2^{-1} T_1$ kommuterar med samtliga matriser. Eftersom de 2x2 komplexvärda matriserna är isomorfa med \mathbb{H}_c innebär det att det finns en motsvarande komplexvärd kvaternion $q_{T_2^{-1} T_1}$ som kommuterar med samtliga komplexvärda kvaternioner. De enda kvaternioner som kommuterar med samtliga är skalära tal (eftersom att i , j och k ej kommuterar). Detta medför att $q_{T_2^{-1} T_1} = \beta$, där β ett komplext tal. Om vi nu återgår isomorft till matriserna fås $T_2^{-1} T_1 = \beta I$, alltså $T_1 = \beta T_2$. \square

Vad vi kommit fram till här är att spinorrummet är ett geometriskt rum inbäddat i Cliffordalgebran. Vi kan hitta olika representationer för det med dessa olika förser en bara med olika perspektiv på spinorerna.

Detta avslutar nu teoridelen. Vi har visat hur vi kan rotera vektorer i \mathbb{R}^3 med hjälp av kvaternioner. Vidare har vi även visat \mathbf{Z}_2 -minnet hos $SO(3)$ och argumenterat för att vi behöver en representation för att beskriva objekt som har detta minne. Spinorerna har då detta \mathbf{Z}_2 -minne som inte kan observeras genom vanliga vektorer. Vi har tagit fram representationer för operatorer på spinorerna.

I vårt interaktiva program har vi tagit fram visualiseringar av vektorrummet och spinorrummet och kommer att kunna demonstrera detta fenomen tydligt.

5 Kodningen bakom VR, BR och SR

Under projektet har vi producerat tre program, VR, BR och SR (står för Vektorrymd, Bivektorrymd samt Spinorrymd). VR och BR är visualiseringar av de parametriseringar mellan bivektorrymden och vektorrymden

$$BR \rightarrow \mathcal{L}(VR), \quad b \rightarrow T, \quad Tv = e^{b/2}ve^{-b/2}.$$

(se även (30) samt avsnittet om kvaternioner och rotationer i \mathbb{R}^3 3.1.) De är skapade i pedagogiskt syfte. Användaren skall kunna visuellt få demonstrerat för sig att $SO(3)$ har ett \mathbf{Z}_2 -minne i den meningen att när ett vektorsystem roterat ett helt varv kommer inte en punkt i bivektorrymden som kontinuerligt följt detta system ha återställts. Bivektorn befinner sig då istället på randen, $|b| = 2\pi$. Alla b som uppfyller detta motsvarar, enligt ekv. (30), samma kvaternion -1 , $b \rightarrow e^{b/2}$.

SR visualiserar representationen mellan bivektorrymden och spinorrymden

$$BR \rightarrow \mathcal{L}(SR), \quad b \rightarrow \tilde{T}, \quad \tilde{T}\psi = \rho(e^{b/2})\psi.$$

Där ψ är en spinor. Man kan se i programmet som visualiserar spinorer att efter att en punkt i bivektorrymden förflyttats till sin rand kommer spinorer inte ha återställts, utan har istället hamnat i motsatt konfiguration: $\psi \rightarrow -\psi$.

BR och SR behöver programmet quaternion.m för att fungera. SR behöver även platonic_solid.m.

I samtliga program finns en Bivektor-Spinor- samt Vektorrymd uppvisade som grafiska element. Bivektorrymden består av ett klot med radie 2π , där motsvarar punkterna de enhetskvaternioner som finns i S^3 , och relateras till de rena bivektorerna med $q = \exp(b/2)$. Det finns däri ett litet rött klot som representerar en punkt i bivektorklotet. Den sitter till en början i origo men när programmet används kommer den att börja flytta runt. Tre "skuggbilder", mer transparenta punkter projicerade på de tre axlarna kommer att synas för att ge bättre insikt i vart i klotet punkten befinner sig. Eftersom denna avbildning har ett modulus på 4π är den röda punkten i programmet inställd på att då den börjar hamna utanför 4π så ska den flyttas innanför klotet men speglas så att den behåller den sista flyttningen som användaren gjorde på systemet (dvs. $b \rightarrow -(4\pi - |b|) \cdot b/(|b|)$). Det finns även ett sfäriskt skal inritad i området $|b| = \pi$ som motsvarar ekvatorn för kvaternionerna i S^3 , för att användarna skall få bättre koll på vilka kvaternioner som motsvarar den givna rotationen. Spinorrymden är väldigt lik Bivektorrymde i den mening att den har en sfär och ekvator men det finns istället fyra punkter, en för varje spinor som hade utgjort en bas i fyra dimensioner. Dessa är utritade som platonska kroppar. Istället för skuggbilder är kropparna projicerade ned på $z = -10$ och $x = 10$ -planen för att ge en tydligare bild av deras lägen. Vektorrymden består av tre vektorer som representerar en bas i \mathbb{R}^3 , som efter grafiken uppdateras kommer att börja rotera.

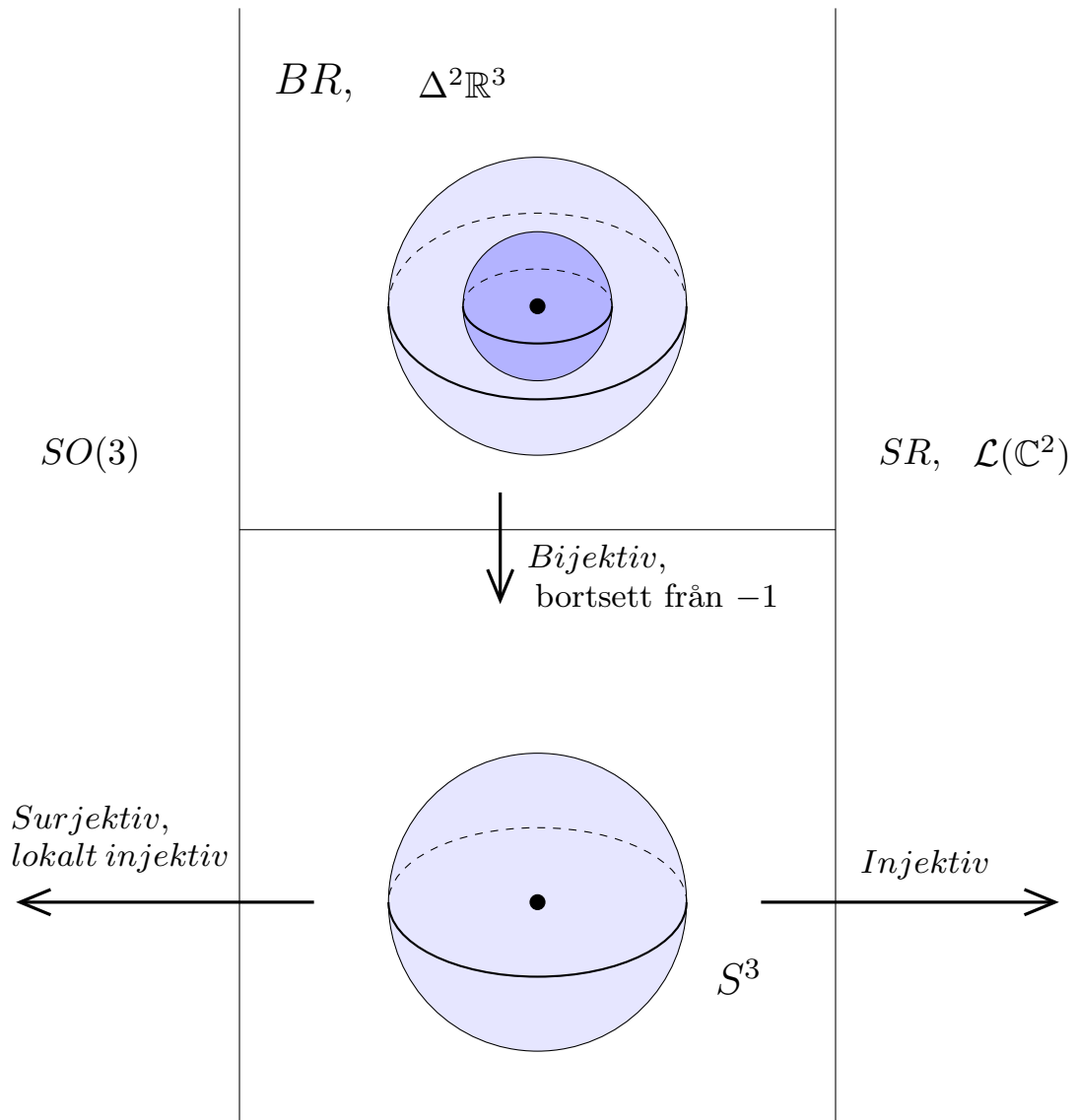
I samtliga program finns även interaktionsobjekt, objekt som en användare kan interagera med för att göra ändringar i grafiken. Dessa utgörs av planer, tre olika plan som motsvarar projektioner/skärningar av $x - y$, $z - x$ och $y - z$ -planen.

I programmet VR är dessa interaktionsplan projektioner av vektorrymden, där samtliga vektorer finns projicerade. Om interaktionspunkten kommer tillräckligt nära någon vektor kommer vektorn rotera så den pekar på interaktionspunkten. Samtliga vektorer kommer då att förflyttas och hela systemet ändras, vilket även kommer att flytta punkten i Bivektorrymden. Denna kommer att lägga sig i den punkt som motsvarar den axel och det vinkelutslag som hade roterat vektorrymden in i dess befintliga läge i en rotation. Detta läge fås genom användning av Cliffordspåret (29). Eftersom Bivektorrymden är 2-1 finns det egentligen fler sätt att göra dessa. Men om vi sätter kriterierna att flyttningarna ska vara kontinuerliga och att $b = (0, 0, 0)$ motsvarar vektorns grundsystem finns bara ett sätt.

I BR är interaktionsplanen skärningsplan av Bivektorrymden genom origo, parallellt med $x - y, z - x.y - z$ planen. De objekt man kan interagera med i dessa är röda punkter, som motsvarar klotpunkten i Bivektorrymden. Om interaktionspunkten kommer tillräckligt nära någon av planens klotpunkter kommer klotpunkten att "dras" till denna punkt, vilket kommer att ändra punkten i Bivektorrymden. Detta kommer sedan uppdatera grafiken i VR på så sätt att systemet roterar in till motsvarande läge.

BR och VR visar \mathbf{Z}_2 -minnet i den mening att när vektorsystemet roterat ett fullt varv och återställts till samma läge kommer inte klotpunkten att infinna sig i grundposition, utan det är först efter två varv som klotpunkten återställs. Om man till exempel enbart roterar i z -axeln ($x - y$ planet) kommer klotpunkten att befinna sig i $(0, 0, 2\pi)/(0, 0, -2\pi)$ (dessa motsvarar samma punkt), medan vektorsystemet då är i grundläget.

SR har samma interaktionsmoment som BR. Skillnaden är att spinorer, istället för vektorer, kommer förflyttas. Det som kommer visa sig här är att spinorerna inte befinner sig i grundläge då klotpunkten rört sig 2π från sin grundposition, istället kommer samtliga spinorer att finnas i de antipodala lägena till sitt grundläge (representationer av operatorer till spinorrymden har egenskapen att $\rho(-1) = -I$).



Figur 2: Avbildning mellan olika vektorrum

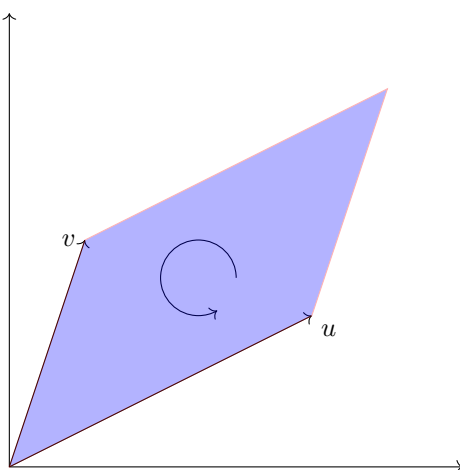
Litteraturförteckning

- [1] Rosén, Andreas *Geometric Multivector Analysis*. Birkhäuser, Cham (forthcoming) 2019.
- [2] Tapp, Kristopher. *Matrix Groups for Undergraduates*. AMERICAN MATHEMATICAL SOCIETY 2005.
- [3] Sakurai, Jun John. *Modern Quantum Mechanics, 2nd Edition*. Addison-Wesley Publishing Company 1994.
- [4] Mathoma.
Geometric Algebra in 3D - Fundamentals. Hämtad 2019-02-17 från https://www.youtube.com/watch?v=E1L16gzNbFE&list=PLpzmRsG7u_gqaTo_vEseQ7U8KFvtiJY4K&index=9 Publicerades 27 december 2016.

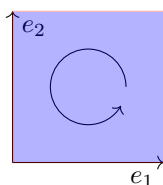
A Visualisering av yttre algebran

Figurer

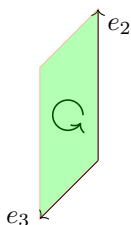
1	Cliffordalgebras struktur i \mathbb{R}^3	4
2	Avbildning mellan olika vektorrum	19
3	Visualisering av yttreprodukten av vektorer u och v	21
4	e_1e_2 i xy -plan	21
5	e_2e_3 i yz -plan	21
6	e_3e_1 i zx -plan	21
7	Yttreprodukten av tre linjärt oberoende vektorer.	22
8	Basbytesdiagram	23



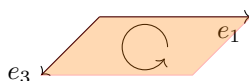
Figur 3: Visualisering av yttreprodukten av vektorer u och v



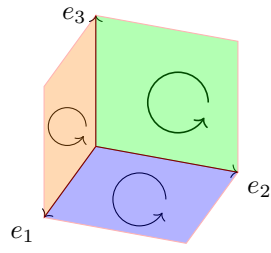
Figur 4: e_1e_2 i xy -plan



Figur 5: e_2e_3 i yz -plan



Figur 6: e_3e_1 i zx -plan



Figur 7: Yttreprodukten av tre linjärt oberoende vektorer.

B Kompletterande Teori

B.1 Basbyten

I linjär algebra lär vi oss att till en linjär avbildning av ett vektorrum V $g : V \rightarrow V$ finns en matris A sådan att $g(v) = Av_E$, för en vektor $v \in V$, där $A = (g(e_1) \ g(e_2) \ \dots \ g(e_n))$ och v_E är koordinaterna i basen $E = (e_1 \ e_2 \ \dots \ e_n)$. Om vi nu låter $F = (f_1 \ f_2 \ \dots \ f_n)$ vara en annan bas för V , sådan att $Fv_F = v_E$, gäller att $g(v) = A_F v_F$, där $A_F = (g(f_1) \ g(f_2) \ \dots \ g(f_n))$. Vidare följer att vi kan skriva A_F som

$$A_F = F^{-1}AF$$

Detta förtydligas i nedanstående diagram.

$$\begin{array}{ccc} v_E & \xrightarrow{A_E = g(e_n)} & A_E v_E \\ \downarrow F^{-1} & & \uparrow F \\ v_F & \xrightarrow{A_F = F^{-1}AF} & A_F v_F \end{array}$$

Figur 8: Basbytesdiagram

B.2 Homomorfa matrisrepresentationer

Vi visar nedan att de representationer för kvaternionerna som vi valde i 4.4.2 faktiskt är homomorfier.

Bevis. Låt $\phi : \mathbb{H} \rightarrow \mathcal{L}(\mathbb{C}^2)$,

Genom $\phi(a+bi+cj+dk) = \begin{bmatrix} a+bi & c+di \\ -c+di & a-bi \end{bmatrix}$, där $a, b, c, d \in \mathbb{R}$.

För att visa att detta är en homomorfi måste vi visa att den bevarar multiplikation och addition. För att visa att den bevarar addition, låt

$$\begin{aligned} \phi((a+bi+cj+dk) + (e+fi+gj+hk)) &= \\ \phi((a+e) + (b+f)i + (c+g)j + (d+h)k) &= \begin{bmatrix} (a+e) + (b+f)i & (c+g) + (d+h)i \\ -(c+g) + (d+h)i & (a+e) - (b+f)i \end{bmatrix} = \\ &= \begin{bmatrix} a+bi & c+di \\ -c+di & a-bi \end{bmatrix} + \begin{bmatrix} e+fi & g+hi \\ -g+hi & e-fi \end{bmatrix} = \phi(a+bi+cj+dk) + \phi(e+fi+gj+hk). \end{aligned}$$

Vilket visar att den bevarar addition. För att visa att den bevarar multiplikation låt

$$\begin{aligned} \phi((a+bi+cj+dk)(e+fi+gj+hk)) &= \\ \phi((ae-bf-cg+dh) + (af+be+ch-dg)i + (ag-bh+ce+df)j + (ah+bg-cf+de)k) &= \\ \begin{bmatrix} (ae-bf-cg+dh) + (af+be+ch-dg)i & (ag-bh+ce+df) + (ah+bg-cf+de)i \\ -(ag-bh+ce+df) + (ah+bg-cf+de)i & (ae-bf-cg+dh) - (af+be+ch-dg)i \end{bmatrix} &= \\ = \begin{bmatrix} a+bi & c+di \\ -c+di & a-bi \end{bmatrix} \begin{bmatrix} e+fi & g+hi \\ -g+hi & e-fi \end{bmatrix} &= \phi(a+bi+cj+dk)\phi(e+fi+gj+hk). \end{aligned}$$

Vilket visar att den bevarar multiplikation. Alltså är ϕ en homomorfi. □

Med samma argument som ovan kan man även se att

$\psi : \mathbb{H} \rightarrow \mathcal{L}(\mathbb{C}^2)$ är en homomorfi, där

$$\psi(a+bi+cj+dk) = \begin{bmatrix} a-ci & d-bi \\ -d-bi & a+ci \end{bmatrix}.$$

B.3 Rotationsmatris för godtycklig axel och vinkel i VR

Från linjär algebra lär vi oss att en rotation bestäms av vart den tar basvektorerna. Om vi vill lära oss hur rotationsmatrisen för en godtycklig axel och godtycklig vinkel räcker det alltså att vi kollar på basvektorerna. Detta kan vi göra med hjälp av kvaternioner. Vi har att

$R = (Re_1 Re_2 Re_3)$, där R är vår rotationsmatris och

$$\begin{aligned} Re_1 &= qe_1q^{-1}, \\ Re_2 &= qe_2q^{-1}, \\ Re_3 &= qe_3q^{-1}. \end{aligned}$$

Där $q = \exp(\frac{-j\phi}{2})$, $j = ae_{32} + be_{13} + ce_{21}$, $a, b, c \in \mathbb{R}$ och $a^2 + b^2 + c^2 = 1$. Om vi räknar på detta får vi att

$$qe_3q^{-1} = (\cos(\theta/2) - j \sin(\theta/2))e_3(\cos(\theta/2) + j \sin(\theta/2)) =$$

$$\begin{aligned}
&= (\cos(\theta/2)e_3 + (ae_{23}\sin(\theta/2) - be_{13}\sin(\theta/2) + ce_{12}\sin(\theta/2))e_3(\cos(\theta/2) + j\sin(\theta/2))) = \\
&= (\cos(\theta/2)e_3 + a\sin(\theta/2)e_2 - b\sin(\theta/2)e_1 + c\sin(\theta/2)e_{123})(\cos(\theta/2) - a\sin(\theta/2)e_{23} + b\sin(\theta/2)e_{13} - \\
&\quad c\sin(\theta/2)e_{12}) = \\
&= \cos^2(\theta/2)e_3 + a\cos(\theta/2)\sin(\theta/2)e_2 - b\cos(\theta/2)\sin(\theta/2)e_1 - c\cos(\theta/2)\sin(\theta/2)e_{312} + a\cos(\theta/2)\sin(\theta/2)e_2 - \\
&\quad a^2\sin^2(\theta/2)e_3 + ab\sin^2(\theta/2)e_{213} + ac\sin^2(\theta/2)e_1 - b\cos(\theta/2)\sin(\theta/2)e_1 + ab\sin^2(\theta/2)e_{123} - b^2\sin^2(\theta/2)e_3 + \\
&\quad bc\sin^2(\theta/2)e_2 + c\cos(\theta/2)\sin(\theta/2)e_{123} + ac\sin^2(\theta/2)e_1 + bc\sin^2(\theta/2)e_2 + c^2\sin^2(\theta/2)e_3 = \\
&= \cos^2(\theta/2)e_3 + \sin^2(\theta/2)(-a^2 - b^2 + c^2)e_3 + 2a\cos(\theta/2)\sin(\theta/2)e_2 - 2b\cos(\theta/2)\sin(\theta/2)e_1 + \\
&\quad 2bc\sin^2(\theta/2)e_2 + 2ac\sin^2(\theta/2)e_1 = \\
&= (2ac\sin^2(\theta/2) - b\sin(\theta))e_1 + (2bc\sin^2(\theta/2) + a\sin(\theta))e_2 + (\cos^2(\theta/2) - a^2\sin^2(\theta/2) - b^2\sin^2(\theta/2) + \\
&\quad c^2\sin^2(\theta/2))e_3.
\end{aligned}$$

Om man gör motsvarande beräkningar för e_1 och e_2 får man att

$$qe_1q^{-1} = (\cos^2(\theta/2) + a^2\sin^2(\theta/2) - b^2\sin^2(\theta/2) - c^2\sin^2(\theta/2))e_1 + (2ab\sin^2(\theta/2) - c\sin(\theta))e_2 + (2ac\sin^2(\theta/2) + b\sin(\theta))e_3,$$

$$qe_2q^{-1} = (2ab\sin^2(\theta/2) + c\sin(\theta))e_1 + (\cos^2(\theta/2) - a^2\sin^2(\theta/2) + b^2\sin^2(\theta/2) - c^2\sin^2(\theta/2))e_2 + (2b\sin^2(\theta/2) - a\sin(\theta))e_3.$$

Vi får då att

$$R = \begin{bmatrix} \cos^2(\theta/2) + \sin^2(\theta/2)(a^2 - b^2 - c^2) & 2ab\sin^2(\theta/2) - c\sin(\theta) & 2ac\sin^2(\theta/2) + b\sin(\theta) \\ 2ab\sin^2(\theta/2) + c\sin(\theta) & \cos^2(\theta/2) + \sin^2(\theta/2)(-a^2 + b^2 - c^2) & 2b\sin^2(\theta/2) - a\sin(\theta) \\ 2ac\sin^2(\theta/2) - b\sin(\theta) & 2bc\sin^2(\theta/2) + a\sin(\theta) & \cos^2(\theta/2) + \sin^2(\theta/2)(-a^2 - b^2 + c^2) \end{bmatrix}$$

B.4 En rotation i \mathbb{R}^3 är alltid kring en axel

Bevis. Detta påstående innebär att för en allmän rotation kring origo finns alltid en linje (rotationsaxel) som inte har förflyttat sig med avseende på grundläget. Detta är bevisat om man kan visa att samtliga element $R \in SO(3)$ har en egenvektor v för vilken $Rv = v$. Detta är identiskt med att påstå att samtliga matriser i $SO(3)$ har ett egenvärde $\lambda = 1$, eller att $\det(R - I) = 0$. För att visa detta använder vi att eftersom $R^\top = R^{-1}$ gäller $R - I = R - RR^\top = R \cdot (I - R^\top) = R \cdot (I - R)^\top$ vi har även för rotationsmatriser att $\det(R) = 1$, samt att för godtyckliga A, B är $\det(AB) = \det(A) \cdot \det(B)$ och $\det(A^\top) = \det(A)$. Med dessa beräknas

$$\det(R - I) = \det(R \cdot (I - R)^\top) = \det(R) \cdot \det(I - R) = \det((-1) \cdot (R - I)) = (-1)^3 \cdot \det(R - I) = -\det(R - I).$$

Eftersom $\det(R - I) = -\det(R - I)$ måste $\det(R - I) = 0$. □

C KOD

C.1 VR

```
1  clf;clear all;
2  %introduktion
3  %{
4  %Detta program 'ar skapat i samband med ett kandidatprojekt ,
5  %och 'ar menat att vara en del i ett paket av tre
6  %(VR,BR och SR, d'ar VR st'ar f'or vektorrymden ,
7  % BR f'or bivektorrymden och SR f'or spinorrymden).
8
9  %f'or att kunna k'ora BR och SR kr'avs quaternion.m
10 %SR kr'aver 'aven platonic_solid.m
11
12 %Vardera program skall g'aa att anv'anda utan tillgang till de andra, och
13 %att anv'anda utan djupare kunskap i matematiken om bara f'or n'ojes skull
14 .
15 %Denna inledning 'ar skriven f'or att ge insikt i vad de olika
16 %programmen g'or, vad de 'ar till f'or, hur man anv'ander dem, och hur de 'a
17 %uppbyggda.
18 %Den 'ar skriven f'or att f'ors'oka s'aa langt det g'ar enhetligt
19 %beskriva samtliga tre program samtidigt, s'aa
20 %att det inte finns behov av att l'asa inledningen i n'agon av de andra.
21
22 %Mer specifika detaljer relaterade till varje kods uppbyggnad; vad de
23 %momenten g'or och varf'or de skrivs p'aa det s'att de g'ors skall skrivas n'a
24 %tillh'orande kodstycke.
25
26 %Kunskaper kring programmering tenderar att variera, s'aa jag har
27 %f'oredragit att ta upp "f'or m'anga detaljer" 'an f'or f'aa i texten, s'aa
28 %skall vara enkel att f'orst'aa 'aven utan tidigare kunskaper.
29 %Jag 'ar sj'alv inte mycket av en kodare, och genom att beskriva s'aa
30 %mycket av logiken som m'ojligt 'ar det f'orhoppningsvist enklare f'or en
31 %van att g'ora f'or'andringar denne tycker beh'ovs.
32
33
34 %BR och VR 'ar en visuell demonstration av hur kvaternionerna
35 %dubbelt t'acker gruppen  $SO(3)$ , som beskriver rotationer i 3D.
36 %SR 'ar en visualisering av spinorer, som har egenskapen att de inte
37 %'aterst'allts efter 360 graders, utan 720 graders rotation
38 %(specifikt 'ar att f'or en spinor-representation  $p$  'ar  $p(-1)=-I$ )
39
40 %Programmets strukturer 'ar p'aa m'anga s'att lika;
41 %Den f'orsta koden i varje program har jag satt ut parametrar som 'ar
42 %s'aa att anv'andaren skall kunna justera efter datorprestanda och
43 %sedan de matematiska/logiska objekten,
```

```

44 %Därefter instantieras diverse geometriska objekt satt i sina
45 %"grundtillstånd".
46
47 %I vardera program finns tre plan ned på vilka ett rum projiceras
48 %(I BR och SR projiceras "Bivektorrummet", i VR projiceras "
49   Vektorrummet").
49 %Dessutom kommer i vardera plan en punkt instantieras
50 %(en blå stjärna ('*')) som i samtliga texter kommer kallas "
51   interaktionspunkten",
51 %för att särskilja den från punkten i BR, som kommer kallas "
52   klotpunkten".
52 %Planen kommer kallas "interaktionsplanen". Planen kommer ofta
53   beskrivas
53 %som att de "tillhör" det rum som projicerades ned på det
54 %(exempelvis här i VR kan texten "vektorrummets plan" förekomma).
55 %Bland de objekt som finns visuellt representerade i planen finns
56 %komponenter som kan interagera med interaktionspunkter,
57 %vilka kommer kallas 'interaktionsobjekt'.
58 %interaktionspunkten går att flytta, och
59 %genom att komma tillräckligt nära ett interaktionsobjekt
60 %kommer det att flytta sig så den hamnar så nära
61 %interaktionspunkten den kan.
62 %interaktionsplanen är alltid x-y, z-x, och y-z plan.
63 %Det är värt att nämna att jag valt att kalla ett plan z-x.
64
65 %I samtliga program finns ett "vektorrum" och ett "bivektorrum"
66 %vektorrummets visuella komponenter är tre stycken vektorer,
67 %som skall representera ett koordinatsystem
68 %(x-axel, y-axel och en z-axel) och i en bredare bemärkelse, vektorer i
69 %tre dimensioner.
70
71 %Bivektorrummet är ett klot med radie 2*pi
72 %som är en visuell representation av enhetskvaternionerna, vilka utgör
73 %en tredimensionell sfär inbäddad i fyra dimensioner, och
74 %om  $b = [b_1 \ b_2 \ b_3]$  är en punkt i  $B(0, 2\pi)$  kan den relateras till en
75   specifik
75 %kvaternion via  $b \rightarrow \exp((b_1*i + b_2*j + b_3*k)/2)$ 
76 %Klotets främsta komponent är en punkt (kallad klotpunkt, kommer ibland
77   i kod understryka
77 %att den är röd, för att särskilja den från interaktionspunkten, och när
78   jag diskuterar
78 %den som en kvaternion eller vektor kommer jag kalla den b)
79 %bollen har för övrigt ett modulus på  $4\pi$  ( $\exp((4\pi*j)/2) = 1$ ), så när
80   b kommer "över"  $4\pi$ 
80 %kommer den förflyttas till ett motsvarande läge på andra sidan klotet.
81 %för att ge en bättre bild av var i klotet punkten befinner sig har
82 %"skuggbilder" satts ut, vilka beskriver b's lprojektioner på B's axlar.
83
84 %I VR är det vektorrummet som är projicerat på interaktionsplanen.
85 %vektorrummets interaktionsobjekt är de olika vektorernas pilspetsar;
86 %när interaktionspunkten kommer nära pilspetsen kommer dess vektor
87 %roteras in mot interaktionspunkten,
88 %varefter hela koordinatsystemet kommer rotera efter samma axel och
89 %med samma vinkelutslag.
90 %Varje system av koordinataxlar (x', y', z'), motsvarar en
    rotationsmatris:

```

```

91 %['x' y' z'] (eftersom x' y' z' 'ar ortonormerade, vi har
92 %R[e1 e2 e3]=[R(e1) R(e2) R(e3)]=[x' y' z']
93 %Ifrån denna rotationsmatris kan man få ut en bivektor
94 %genom att betrakta matrisens "clifford trace", vilket vi kan
95 %relatera till en specifik axel och en specifik vinkel, vilket
96 %då 'ar en b-vektor som motsvarar klotpunktens nya l'age i bivektorrymden
.
97
98 %Det som tydligt märks 'ar att 'aven då rotationssystemet roterat 360
    grader
99 %kommer inte b-vektorn ha återgått till [0 0 0], utan det 'ar först
    efter
100 %två rotationer som systemet har återst'allts helt.
101
102
103 %I BR 'ar det bivektorrummet som 'ar projicerat på interaktionsplanen,
    och
104 %interaktionsobjektet 'ar klotpunkten. Då interaktionspunkten kommer n'a
    ra
105 %klotpunkten flyttas klotpunkten till interaktionspunktens l'age.
106 %I varje interaktionsplan finns 'aven en cirkel utritad, som motsvarar
107 %randen av BR.
108 %klotpunkten motsvarar ('ar) en bivektor, vilket vi kan relatera till en
    enhets-
109 %kvaternion  $q=\exp(b/2)$ , d'ar vi nu kan rotera koordinatsystemet
110 %med  $q\bar{q}^{-1}$ . Mer detaljrik förklaring finns i projektrapporten.
111 %I koden i sig anv'ands ett befintligt program som fanns i quaternion.m,
112 %som jag ej vet hur den 'ar uppbyggd.
113
114 %I SR har vi 'aven spinorrummet, vilket likt BR 'ar ett klot av radie  $2*$ 
    pi,
115 %vari det ligger fyra stycken punkter (återigen 'stj'arnor', (*))
116 %som motsvarar spinorer.
117 %Spinorer beskrivs ofta som vektorer i  $C^2$ , d'ar det finns en
118 %kvaternionrepresentation  $p(q)=[z w; -w' z']$ , som 'verkar' på
119 %spinorerna. I SR går vi 'over till  $R^4$ , oh eftersom p bevarar l'angder
120 %kommer "enhetsspinorer" befinna sig i sf'aren, så vi representerar
121 %spinorerna i någon mening som om de vore "kvaternioner".
122 %I SR 'ar det återigen BR som projiceras på interaktionsplanen, med
123 %samma interaktionssystem som i BR, och n'ar bollens r'orelse resulterar
124 %i förändringar av kvaternionsens l'age genom det  $p(q)$  som beskrevs ovan.
125 %hur kvaternionen roterar vektorrummet 'ar också med
126
127 %för att hjälpa visualiseringen av spinorernas l'agen finns 'aven
128 %projektionsplan som beskriver dess l'agen i xy och zx planen, satta i
129 %deras klot, på nivåerna  $z=-10$  respektive  $x=10$ ,
130 %Det går 'aven att slå på "skuggbilder" som fungerar på samma sätt som
131 %klotets skuggor, men detta resulterar i 16 punkter i klotet, så det 'ar
132 %I grundl'aget satt till 0, men kan sättas på med en "shadeon"-konstant
133
134
135 %samtliga interaktioner mellan program och anv'andare
136 %hanteras inom en while loop, som alltid 'ar satt till 'true'.
137 %interaktionspunkterna 'ar "impoint"-objekt (eller i 2019: drawpoint).
138 %Som instantieras med planet det befinner sig i.
139 %Dessa kallas på i loopen med en "get"

```

```

140 %(För den ovane: get/getters och set/setters 'ar
141 %i programmering typiska funktioner att ge klasser. En "get" låter
142 %användaren l'asa av variabler/h'amta information som ett objekt har
143 %(i detta fall har vi en impoint, vars variabel vi plockar 'ar "Position
    "
144 %Den kan instantieras via h.impoint();, och positionen fås då
145 %via h.getPosition.)
146 %interaktionspunktens l'age sparas, och en serie if-satser kollar om
147 %den nuvarande punkten 'ar n'ara något interaktionsobjekt.
148 %pointdistance garanterar att de interaktionspunkter som inte vidr'ors
149 %ej kan interagera med sitt plans interaktionsobjekt, vilket hade gjort
150 %koden svårnavigerad.
151
152 %Det finns en del kriterier utsatta f'or att se till att så få "on'odiga"
153 %loopar g'ors som m'ojligt f'or att snabba upp programmetn som i nul'aget
154 %ar r'att långsamma.
155 %Om interaktionspunkten kommer n'ara ett objekt, ber'aknar programmet
    vilka operationer
156 %som skall utf'oras.
157 %d'arefter har varje programs while loop en serie set-funktioner (en "
    set"/setter
158 %låter användaren ans'atta ett nytt v'arde i ett objekt,
159 % exempelvis: set(u,'XData',b(1),'YData',b(2),'ZData',b(3)) s'atter ut
160 %klotpunkten i dess nya l'age i BR.) vilka uppdaterar alla grafiska
    objekt.
161 %}
162
163 %beskrivning av konstanter som kan vara v'art att modifiera,
164 %om tex kod går långsamt
165 %{
166
167 %1. 'pauselength' best'ammer, i sekunder, den tid det skall ta mellan
    varje
168 %iteration av att l'asa av vektorpunktens l'age och positionera
    vektorsystemet och
169 %klotpunkten efter det.
170
171 %2. 'dist' beskriver från vilket avstånd interaktionspunkten skall ha
172 %från pilspetsarna tills de b'orjar flytta på sig
173
174 %3. Pointdistance uts'atter ett krav
175 %som begr'ansar antalet processer som g'ors i while loopen, genom att
176 %kontrollera vilket avstånd den nuvarande interaktionspunkten har
177 %relativt den tidigare iterationspunkten
178 %dvs om man s'atter pointdistance 0.01 måste interaktionspunkten ha f'o
    rflyttats
179 %0.01 enheter från det l'age den var sedan senaste grafikuppdatering,
    innan
180 %programmet kontrollerar huruvida klotpunkten skall flyttas relativt
181 %interaktionspunktens nuvarande l'age.
182
183 %Den g'or 'aven så att interaktionspunkterna
184 %inte påverkar systemet om inte användaren r'or vid dem. Om man
185 %s'atter pointdistance till noll finns det ingen f'ors'akring till detta.
186
187 %(Jag tror detta 'ar pga att impoint, som genererar

```

```

    interaktionspunkterna ,
188 %verkar flytta sig sj'altv , om 'an v'aldigt lite , i sin egen uppdatering.
189 %(jag 'ar os'aker p' dessa detaljer , kan ju ocks' tex vara relaterat till
190 %grafikens uppdateringar).)
191
192 %startvec best'ammer interaktionspunktens startl'age d' programmet k'ors.
193
194 %}
195
196 pauselength=0.05;
197 dist=0.4;
198 startvec=[0 0];
199 pointdistance=0.05;
200
201 %x,y,z 'ar namnen p' axlarna hos vektorsystemet
202 %p,p2 sparar datan hos impoint i while-loopen
203 %dist kvadreras f'or att f'orenkla matematiken i programmet
204 %j2,i,theta2 anv'ands f'or att kolla kriterier om vilken sida
205 %ekvatorn klotpunkten skall befinna sig i bivektorrymden
206
207
208 x=[1;0;0];
209 y=[0;1;0];
210 z=[0;0;1];
211 p=startvec;
212 p2=startvec;
213 dist=dist^2;
214
215 j2=[0 0 0];
216 i=0;
217 theta2=0;
218
219 %klotet som beskriver de enhetskvaternioner som verkar
220 %p' vektorrummet ,
221 %{
222 %en punkt inom klotet (b) relateras till en "ren kvaternion"
223 %b=[b1 b2 b3]->b1*i+b2*j+b3*k som relateras till en
224 %enhetskvaternion q via q=exp(b/2).
225 %}
226
227 figure(1)
228
229 set(gcf, 'Position', [100, 100, 1000, 500])
230
231 subplot(1,2,1);
232
233 [m n o]=sphere; %total sphere bdry => q=-1
234 surf(2*pi*m,2*pi*n,2*pi*o, 'facecolor', 'blue', 'facealpha',.2, 'EdgeAlpha',0);
235 hold on
236 surf(pi*m, pi*n, pi*o, 'facecolor', 'green', 'facealpha',.4, 'EdgeAlpha',0);
237 hold on
238 phi=linspace(0,2*pi);
239
240 xlabel('x')
241 ylabel('y')

```

```

242 xlabel('z')
243 plot(2*pi*cos(phi),2*pi*sin(phi),'black') % circle for visualisation
244
245 plot3([-10 10],[0 0],[0 0],'black',[0 0],[-10 10],[0 0],'black',[0
    0],[0 0],[-10 10],'black')
246
247 %{
248 %b representerat inom klotet som en punkt, bemärkt som en stj'arna ('*')
    ,
249 %samt tre "skuggbilder", projektioner av b på x,y och z axlarna ,
250 %i en svagare gråskala, för att få b'attre 'översikt i var i det
251 %tredimensionella rummet b befinner sig
252 %(visualiseringen av bollens l'age står sist i koden, så att om
    punkterna
253 %overlappar, kommer den faktiska bollens l'age vara den som syns)
254 %}
255
256 uxyz=surf([0.35*m;0.35*m;0.35*m],[0.35*n;0.35*n;0.35*n],[0.35*o;0.35*o
    ;0.35*o],'facecolor','red','facealpha',0.25,'EdgeAlpha',0);
257
258 u=surf(0.35*m,0.35*n,0.35*o,'facecolor','red','facealpha',1,'EdgeAlpha
    ',0);
259
260 grid on
261 axis([-7 7 -7 7 -7 7])
262 axis equal
263
264 title('Bivektorummet BR','FontSize',14)
265
266 subplot(1,2,2);
267
268 %tre vektorer visualiseras som motsvarar koordinater för ett
    tredimensionellt
269 %vektorum, interaktivt kan roteras av anv'andaren.
270 %aven ett mindre vektorsystem, som visar grundpositionen.
271 %{
272 %dess rotationer kommer relateras till den bivektor b=-phi*j, som genom
    att
273 %verka på grundsystemet (via exp(b/2)v(exp(-b/2) skulle ha roterat
    systemet till dess nul'age.
274 %}
275 vecx=quiver3([0 -0.5],[0 -0.5],[0 -1.2],[x(1) 0.5],[x(2) 0],[x(3) 0],'b
    ','Autoscale','off'); hold on; %generate a rotateable x-y-z
    coordinate system
276 vecy=quiver3([0 -0.5],[0 -0.5],[0 -1.2],[y(1) 0],[y(2) 0.5],[y(3) 0],'r
    ','Autoscale','off');
277 vecz=quiver3([0 -0.5],[0 -0.5],[0 -1.2],[z(1) 0],[z(2) 0],[z(3) 0.5],'g
    ','Autoscale','off');
278
279 xlim([-1.2 1.2])
280 ylim([-1.2 1.2])
281 zlim([-1.2 1.2])
282 title('Vektorummet VR','FontSize',14);
283
284 pbaspect([1 1 1]);
285

```

```

286
287
288 figure(2);
289
290 set(gcf, 'Position', [100, 100, 600, 200])
291
292 vx=quiver([-2.5 0 2.5],[0 0 0],[x(1),x(3),x(2)],[x(2),x(1),x(3)], 'b', '
    AutoScale', 'off'); hold on;%, 'b');hold on
293 vy=quiver([-2.5 0 2.5],[0 0 0],[y(1),y(3),y(2)],[y(2),y(1),y(3)], 'r', '
    AutoScale', 'off');
294 vz=quiver([-2.5 0 2.5],[0 0 0],[z(1),z(3),z(2)],[z(2),z(1),z(3)], 'g', '
    AutoScale', 'off');
295
296 axis([-5 5 -1.5 1.5]);
297 pbaspect([10 3 1]);
298
299
300 txtxy = 'x-y plan';
301 txtzx = 'z-x plan';
302 txtyz = 'y-z plan';
303 text(-3,-1.1,txtxy, 'FontSize',12);
304 text(-0.5,-1.1,txtzx, 'FontSize',12);
305 text(2,-1.1,txtyz, 'FontSize',12);
306 title('interaktiva ytor', 'FontSize',12);
307
308 h=impoint(gca, startvec);
309 while(true)
310     pause(pauselength)
311     %p sparar nya interaktionsl'aget
312     p=h.getPosition;
313     %om vi inte r'ort oss ett litet avst'and skall ingenting ske
314     if(pointdistance<=norm(p-p2))
315     if(0.1<=norm(p)&&0.1<=norm(p+[2.5 0])&&0.1<=norm(p-[2.5 0]))
316         %kollar om vi hamnat n'ara en specifik vektor
317         if((p(1)-x(1)+2.5)^2+(p(2)-x(2))^2<=dist&&0.1<=x(1)^2+x(2)^2)
318
319             %vi anv'ander det nya l'aget samt vektorn f'or att
320             %bilda en rotationsmatris, som vi anv'ander f'or att rotera
321             samtliga
322             %objekt
323             p(1)=p(1)+2.5;
324
325             q=[x(1) x(2)];
326
327             p=p/norm(p);
328             q=q/norm(q);
329
330             %alfa,beta best'ammer rotationsmatrisen
331             alfa=p(1)*q(1)+p(2)*q(2);
332             beta=p(1)*q(2)-p(2)*q(1);
333
334             x1=alfa*x(1)+beta*x(2);
335             x2=alfa*x(2)-beta*x(1);
336             x(1)=x1;x(2)=x2;
337

```



```

338
339     y1=alfa*y(1)+beta*y(2);
340     y2=alfa*y(2)-beta*y(1);
341     y(1)=y1;y(2)=y2;
342
343     z1=alfa*z(1)+beta*z(2);
344     z2=alfa*z(2)-beta*z(1);
345     z(1)=z1;z(2)=z2;
346
347     elseif((p(1)-y(1)+2.5)^2+(p(2)-y(2))^2<=dist&&0.1<=y(1)^2+y(2)^2)
348
349         p(1)=p(1)+2.5;
350
351         q=[y(1) y(2)];
352
353         p=p/norm(p);
354         q=q/norm(q);
355
356
357         alfa=p(1)*q(1)+p(2)*q(2);
358         beta=p(1)*q(2)-p(2)*q(1);
359
360         x1=alfa*x(1)+beta*x(2);
361         x2=alfa*x(2)-beta*x(1);
362         x(1)=x1;x(2)=x2;
363         y1=alfa*y(1)+beta*y(2);
364         y2=alfa*y(2)-beta*y(1);
365         y(1)=y1;y(2)=y2;
366
367         z1=alfa*z(1)+beta*z(2);
368         z2=alfa*z(2)-beta*z(1);
369         z(1)=z1;z(2)=z2;
370         %x=x/norm(x);y=y/norm(y);z=z/norm(z);
371
372     elseif((p(1)-z(1)+2.5)^2+(p(2)-z(2))^2<=dist&&0.1<=z(1)^2+z(2)^2)
373
374         p(1)=p(1)+2.5;
375         q=[z(1) z(2)];
376
377         p=p/norm(p);
378         q=q/norm(q);
379
380
381         alfa=p(1)*q(1)+p(2)*q(2);
382         beta=p(1)*q(2)-p(2)*q(1);
383
384         x1=alfa*x(1)+beta*x(2);
385         x2=alfa*x(2)-beta*x(1);
386         x(1)=x1;x(2)=x2;
387
388         y1=alfa*y(1)+beta*y(2);
389         y2=alfa*y(2)-beta*y(1);
390         y(1)=y1;y(2)=y2;
391
392         z1=alfa*z(1)+beta*z(2);
393         z2=alfa*z(2)-beta*z(1);

```

```

394     z(1)=z1 ; z(2)=z2 ;
395
396
397     %x=x/norm(x) ; y=y/norm(y) ; z=z/norm(z) ;
398
399     elseif ((p(1)-x(3))^2+(p(2)-x(1))^2<=dist && 0.1<=x(3)^2+x(1)^2)
400         q=[x(3) x(1)] ;
401         p=p/norm(p) ;
402         q=q/norm(q) ;
403
404
405         alfa=p(1)*q(1)+p(2)*q(2) ;
406         beta=p(1)*q(2)-p(2)*q(1) ;
407
408         x1=alfa*x(3)+beta*x(1) ;
409         x2=alfa*x(1)-beta*x(3) ;
410         x(3)=x1 ; x(1)=x2 ;
411
412         y1=alfa*y(3)+beta*y(1) ;
413         y2=alfa*y(1)-beta*y(3) ;
414         y(3)=y1 ; y(1)=y2 ;
415
416         z1=alfa*z(3)+beta*z(1) ;
417         z2=alfa*z(1)-beta*z(3) ;
418         z(3)=z1 ; z(1)=z2 ;
419
420     elseif ((p(1)-y(3))^2+(p(2)-y(1))^2<=dist && 0.1<=y(3)^2+y(1)^2)
421         q=[y(3) y(1)] ;
422         p=p/norm(p) ;
423         q=q/norm(q) ;
424
425
426         alfa=p(1)*q(1)+p(2)*q(2) ;
427         beta=p(1)*q(2)-p(2)*q(1) ;
428
429         x1=alfa*x(3)+beta*x(1) ;
430         x2=alfa*x(1)-beta*x(3) ;
431         x(3)=x1 ; x(1)=x2 ;
432
433         y1=alfa*y(3)+beta*y(1) ;
434         y2=alfa*y(1)-beta*y(3) ;
435         y(3)=y1 ; y(1)=y2 ;
436
437
438         z1=alfa*z(3)+beta*z(1) ;
439         z2=alfa*z(1)-beta*z(3) ;
440         z(3)=z1 ; z(1)=z2 ;
441
442     elseif ((p(1)-z(3))^2+(p(2)-z(1))^2<=dist && 0.1<=z(3)^2+z(1)^2)
443
444         q=[z(3) z(1)] ;
445         p=p/norm(p) ;
446         q=q/norm(q) ;
447
448
449         alfa=p(1)*q(1)+p(2)*q(2) ;

```

```

450     beta=p(1)*q(2)-p(2)*q(1);
451
452     x1=alfa*x(3)+beta*x(1);
453     x2=alfa*x(1)-beta*x(3);
454     x(3)=x1;x(1)=x2;
455
456     y1=alfa*y(3)+beta*y(1);
457     y2=alfa*y(1)-beta*y(3);
458     y(3)=y1;y(1)=y2;
459
460     z1=alfa*z(3)+beta*z(1);
461     z2=alfa*z(1)-beta*z(3);
462     z(3)=z1;z(1)=z2;
463
464     elseif((p(1)-x(2)-2.5)^2+(p(2)-x(3))^2<=dist&&0.1<=x(2)^2+x(3)^2)
465         p(1)=p(1)-2.5;
466         q=[x(2) x(3)];
467         p=p/norm(p);
468         q=q/norm(q);
469
470
471         alfa=p(1)*q(1)+p(2)*q(2);
472         beta=p(1)*q(2)-p(2)*q(1);
473
474         x1=alfa*x(2)+beta*x(3);
475         x2=alfa*x(3)-beta*x(2);
476         x(2)=x1;x(3)=x2;
477
478         y1=alfa*y(2)+beta*y(3);
479         y2=alfa*y(3)-beta*y(2);
480         y(2)=y1;y(3)=y2;
481
482         z1=alfa*z(2)+beta*z(3);
483         z2=alfa*z(3)-beta*z(2);
484         z(2)=z1;z(3)=z2;
485
486     elseif((p(1)-y(2)-2.5)^2+(p(2)-y(3))^2<=dist&&0.1<=y(2)^2+y(3)^2)
487         p(1)=p(1)-2.5;
488         q=[y(2) y(3)];
489         p=p/norm(p);
490         q=q/norm(q);
491
492
493         alfa=p(1)*q(1)+p(2)*q(2);
494         beta=p(1)*q(2)-p(2)*q(1);
495
496         x1=alfa*x(2)+beta*x(3);
497         x2=alfa*x(3)-beta*x(2);
498         x(2)=x1;x(3)=x2;
499
500         y1=alfa*y(2)+beta*y(3);
501         y2=alfa*y(3)-beta*y(2);
502         y(2)=y1;y(3)=y2;
503
504         z1=alfa*z(2)+beta*z(3);
505         z2=alfa*z(3)-beta*z(2);

```

```

506         z(2)=z1 ; z(3)=z2 ;
507
508     elseif ((p(1)-z(2) -2.5)^2+(p(2)-z(3))^2<=dist&&0.1<=z(2)^2+z(3)^2)
509         p(1)=p(1) -2.5;
510         q=[z(2) z(3) ] ;
511         p=p/norm(p) ;
512         q=q/norm(q) ;
513
514
515         alfa=p(1)*q(1)+p(2)*q(2) ;
516         beta=p(1)*q(2)-p(2)*q(1) ;
517
518         z1=alfa*z(2)+beta*z(3) ;
519         z2=alfa*z(3)-beta*z(2) ;
520         z(2)=z1 ; z(3)=z2 ;
521
522
523         y1=alfa*y(2)+beta*y(3) ;
524         y2=alfa*y(3)-beta*y(2) ;
525         y(2)=y1 ; y(3)=y2 ;
526
527         x1=alfa*x(2)+beta*x(3) ;
528         x2=alfa*x(3)-beta*x(2) ;
529         x(2)=x1 ; x(3)=x2 ;
530     end
531
532     %{
533     %b-bollens l'age fås ut via Clifford Tracet, d'ar
534     %CT(R)=2*(cos(theta/2)+j*sin(theta/2))+1
535     %R 'ar en rotationsmatris, som kan fås ut av att givet en
536     %konfiguration {x',y',z'} 'ar R=[x' y' z']
537     %if satserna 'ar till f'or att l'osa problemet att cosinus inte 'ar
538     %surjektiv på [0,2pi].
539     %det man kan kolla 'ar att eftersom sin(theta/2) byter tecken i områ
540     det
541     %theta=k*pi kommer den j-vektor som tas ut d'ar byta tecken i detta
542     område
543     %och vi bryr oss enbart om området vid "ekvatorn" abs(b)=pi
544     %(att man får teckenskiift vid 2pi 'ar inga problem, eftersom vi 'andå
545     %har en "spiegling" i detta område. Oan 'ar också ok, d'ar har vi ocks
546     å
547     %tecken'andringar.
548     %så n'ar vi flyttar mellan sidor av ekvatorn tar vi i+1, och
549     %om i 'ar j'amm eller udda best'ammer vilket belopp vi skall v'alja f'or
550     %theta.
551     %}
552     j=[y(3)-z(2) z(1)-x(3) x(2)-y(1) ] ;
553
554     theta=real(acos((x(1)+y(2)+z(3)-1)/2));
555
556     if (not(j(1)==0&&j(2)==0&&j(3)==0))
557         j=j/norm(j) ;
558         if (abs(theta2-pi)<=0.5&&not(sign(j(1))==sign(j2(1)))&&not(abs(j
559             (2)^2+j(3)^2-1)<=0.2))
560             i=mod(i+1,2) ;
561         elseif (abs(theta2-pi)<=0.5&&not(sign(j(2))==sign(j2(2)))&&not(

```

```

558         abs(j(1)^2+j(3)^2-1)<=0.2)
559         i=mod(i+1,2);
560     elseif(abs(theta2-pi)<=0.5&&not(sign(j(3))==sign(j2(3)))&&not(
561         abs(j(1)^2+j(2)^2-1)<=0.2))
562         i=mod(i+1,2);
563     end
564
565     else
566         j=j2;
567     end
568
569     if(i==0)
570         b=theta*j;
571         theta2=theta;
572
573     else
574         b=-(2*pi-theta)*j;
575         theta2=2*pi-theta;
576     end
577
578     %set funktionerna uppdaterar grafiken
579     set(vx,'udata',[x(1),x(3),x(2)],'vdata',[x(2),x(1),x(3)]);
580     set(vy,'udata',[y(1),y(3),y(2)],'vdata',[y(2),y(1),y(3)]);
581     set(vz,'udata',[z(1),z(3),z(2)],'vdata',[z(2),z(1),z(3)]);
582     set(vecx,'udata',[x(1) 0.5],'vdata',[x(2) 0],'wdata',[x(3) 0]);
583     set(vecy,'udata',[y(1) 0],'vdata',[y(2) 0.5],'wdata',[y(3) 0]);
584     set(vecz,'udata',[z(1) 0],'vdata',[z(2) 0],'wdata',[z(3) 0.5]);
585     set(uxyz,'XData',[b(1)+0.35*m;0.35*m;0.35*m],'YData',[0.35*n;b(2)+0.35*n;0.35*n],'ZData',[0.35*o;0.35*o;b(3)+0.35*o])
586
587     set(u,'XData',b(1)+m*0.35,'YData',b(2)+n*0.35,'ZData',b(3)+o*0.35)
588
589     j2=j;
590     theta2=theta;
591
592     end
593
594     end
595
596     p2=p;
597
598     end

```

C.2 BR

```

1  %{
2  %Detta program 'ar skapat i samband med ett kandidatprojekt ,
3  %och 'ar menat att vara en del i ett paket av tre
4  %(VR,BR och SR(detta program), d'ar VR st'ar f'or vektorrymden ,
5  % BR f'or bivektorrymden och SR f'or spinorrymden).
6
7  %F'or BR och SR kr'avs att man har quaternion.m f'or att programmen skall
8  %kunna k'ora. SR kr'aver 'aven att platonic_solid.m finnas.
9
10 %Vardera program skall g'aa att anv'anda utan tillgang till de andra, och
11 %att anv'anda utan djupare kunskap i matematiken om bara f'or n'ojes skull
12 .

```

```

13 %Denna inledning 'ar skriven for att ge insikt i vad de olika
14 %programmen gor, vad de 'ar till for, hur man anv'ander dem, och hur de 'a
    r
15 %uppbyggda.
16 %Den 'ar skriven for att fors'oka sa langt det gar enhetligt
17 %beskriva samtliga tre program samtidigt, sa
18 %att det inte finns behov av att l'asa inledningen i nagon av de andra.
19
20 %Mer specifika detaljer relaterade till varje kods uppbyggnad; vad de
    olika
21 %momenten gor och varfor de skrivs pa det s'att de gors skall skrivas n'a
    ra
22 %tillh'orande kodstycke.
23
24 %Kunskaper kring programmering tenderar att variera, sa jag har
25 %foredragit att ta upp "for manga detaljer" 'an for fa i texten, sa
    koden
26 %skall vara enkel att forsta 'aven utan tidigare kunskaper.
27 %Jag 'ar sj'alv inte mycket av en kodare, och genom att beskriva sa
28 %mycket av logiken som mojligt 'ar det forhoppningsvist enklare for en
    mer
29 %van att g'ora for'andringar denne tycker beh'ovs.
30
31
32 %BR och VR 'ar en visuell demonstration av hur kvaternionerna
33 %dubbelt t'acker gruppen  $SO(3)$ , som beskriver rotationer i 3D.
34 %SR 'ar en visualisering av spinorer, som har egenskapen att de inte
35 %aterst'allts efter 360 graders, utan 720 graders rotation
36 %speciellt 'ar val att for en spinor-representation p 'ar  $p(-1)=-I$ 
37
38 %Programmets strukturer 'ar pa manga s'att lika;
39 %Den forsta koden i varje program har jag satt ut parametrar som 'ar
    ditsatta
40 %sa att anv'andaren skall kunna justera efter datorprestanda och
    personliga preferenser
41 %sedan de matematiska/logiska objekten,
42 %Darefter instantieras diverse geometriska objekt satt i sina
43 %"grundtillstand".
44
45 %I vardera program finns tre plan ned pa vilka ett rum projiceras
46 %(I BR och SR projiceras "Bivektorrummet", i VR projiceras "
    Vektorrummet").
47 %Dessutom kommer i vardera plan en punkt instantieras
48 %(en bla stj'arna ('*')) som i samtliga texter kommer kallas "
    interaktionspunkten",
49 %for att s'arskilja den fran punkten i BR, som kommer kallas "
    klotpunkten".
50 %Planen kommer kallas "interaktionsplanen". Planen kommer ofta
    beskrivas
51 %som att de "tillh'or" det rum som projicerades ned pa det
52 %(exempelvis h'ar i VR kan texten "vektorrummets plan" forekomma).
53 %Bland de objekt som finns visuellt representerade i planen finns
54 %komponenter som kan interagera med interaktionspunkter,
55 %vilka kommer kallas 'interaktionsobjekt'.
56 %interaktionspunkten gar att flytta, och
57 %genom att komma tillrackligt n'ara ett interaktionsobjekt

```

```

58 %kommer det att flytta sig så den hamnar så nära
59 %interaktionspunkten den kan.
60 %interaktionsplanen 'ar alltid x-y, z-x, och y-z plan.
61 Det 'ar v'art att anm'arka att jag valt att kalla ett plan z-x.
62
63 %I samtliga rum forekommer en "vektor- och bivektorrymd"
64 %Vektorrymden visuella komponenter 'ar tre stycken vektorer ,
65 %som skall representera ett koordinatystem
66 %(x-axel, y-axel och en z-axel) och i en bredare bem'arkelse, vektorer i
67 %tre dimensioner.
68
69 %Bivektorrymden 'ar klot med radie 2*pi
70 %som 'ar en visuell representation av enhetskvaternionerna, vilka utg'or
71 %en tredimensionell sf'ar inb'addad i fyra dimensioner, och
72 %om  $b=[b_1 \ b_2 \ b_3]$  'ar en punkt i  $B(0,2\pi)$  kan den relateras till en
    specifik
73 %kvaternion via  $b \rightarrow \exp((b_1*i+b_2*j+b_3*k)/2)$ 
74 %Klotets fr'amsta komponent 'ar en punkt (kallad klotpunkt, kommer ibland
    i kod understryka
75 %att den 'ar r'od, f'or att s'arskilja den fr'ån interaktionspunkten, och n'a
    r jag diskuterar
76 %den som en kvaternion eller vektor kommer jag kalla den b)
77 %bollen har f'or 'ovrigt ett modulus på  $4\pi$  ( $\exp((4\pi*j)/2)=1$ ), så n'ar
    b kommer "over"  $4\pi$ 
78 %kommer den f'orflyttas till ett motsvarande l'age på andra sidan klotet.
79 %f'or att ge en b'attare bild av var i klotet punkten befinner sig har
80 %"skuggbilder satts ut, vilka beskriver b's lprojektioner på B's axlar.
81
82 %I VR 'ar det vektorrummet som 'ar projicerat på interaktionsplanen.
83 %vektorrummets interaktionsobjekt 'ar de olika vektorernas pilspetsar;
84 %n'ar interaktionspunkten kommer n'ara pilspetsen kommer dess vektor
85 %roteras in mot interaktionspunkten,
86 %varefter hela koordnatsystemet kommer rotera efter samma axel och
87 %med samma vinkelutslag.
88 %Varje system av koordinataxlar ( $x',y',z'$ ), motsvarar en
    rotationsmatris:
89 % $[x' \ y' \ z']$  (eftersom  $x' \ y' \ z'$  'ar ortonormerade, vi har
90 % $R[e_1 \ e_2 \ e_3]=[R(e_1) \ R(e_2) \ R(e_3)]=[x' \ y' \ z']$ 
91 %Ifrån denna rotationsmatris kan man få ut en bivektor
92 %genom att betrakta matrisens "clifford trace", vilket vi kan
93 %relatera till en specifik axel och en specifik vinkel, vilket
94 %då 'ar en b-vektor som motsvarar klotpunktens nya l'age i bivektorrymden
    .
95
96 %Det som tydligt m'arcks 'ar att 'aven då rotationssystemet roterat 360
    grader
97 %kommer inte b-vektorn ha återgått till  $[0 \ 0 \ 0]$ , utan det 'ar först
    efter
98 %två rotationer som systemet har återst'allts helt.
99
100
101 %I BR 'ar det bivektorrummet som 'ar projicerat på interaktionsplanen,
    och
102 %interaktionsobjektet 'ar klotpunkten. Då interaktionspunkten kommer n'a
    ra
103 %klotpunkten flyttas klotpunkten till interaktionspunktens l'age.

```

```

104 %I varje interaktionsplan finns 'aven en cirkel utritad, som motsvarar
105 %randen av BR.
106 %klotpunkten motsvarar ('ar) ju en b-vektor, vilket vi kan relatera till
    en enhets-
107 %kvaternion  $q=\exp(b/2)$ , d'ar vi nu kan rotera koordinatsystemet
108 %med  $qvq^{-1}$ . Mer detaljrik forklaring finns i projektrapporten.
109 %I koden i sig anv'ands ett befintligt program som fanns i quaternion.m,
110 %som jag ej vet hur den 'ar uppbyggd.
111
112 %I SR har vi spinorrummet, vilket likt BR 'ar ett klot av radie  $2\pi$ ,
113 %vari det ligger fyra stycken punkter (aterigen 'stj'arnor', (*))
114 %som motsvarar spinorer.
115 %Spinorer beskrivs ofta som vektorer i  $C^2$ , d'ar det finns en
116 %kvaternionrepresentation  $p(q)=[z\ w;-w\ z]$ , som 'verkar' pa
117 %spinorerna. I SR gar vi 'over till  $R^4$ , oh eftersom p bevarar l'angder
118 %kommer "enhetsspinorer" befinna sig i sf'aren, sa vi representerar
119 %spinorerna i nagon mening som om de vore "kvaternioner".
120 %I SR 'ar det aterigen BR som projiceras pa interaktionsplanen, med
121 %samma interaktionssystem som i BR, och n'ar bollens r'orelse resulterar
122 %i for'andringar av kvaternions l'age genom det  $p(q)$  som beskrevs ovan.
123
124 %for att hj'alpa visualiseringen av spinorernas l'agen finns 'aven
125 %projektionsplan som beskriver dess l'agen i xy och zx planen, satta i
126 %deras klot, pa nivaerna  $z=-10$  respektive  $x=10$ ,
127
128 %samtliga interaktioner mellan program och anv'andare
129 %i varje kod hanteras inom en while loop, som alltid 'ar satt till 'true
    '.
130 %interaktionspunkterna 'ar "impoint"-objekt (eller i 2019: drawpoint).
131 %Som instantieras med planet det befinner sig i.
132 %Dessa kallas pa i loopen med en "get"
133 %(For den ovane: get/getters och set/setters 'ar
134 %i programmering typiska funktioner att ge klasser. En "get" låter
135 %anv'andaren l'asa av variabler/h'amta information som ett objekt har
136 %(i detta fall har vi en impoint, vars variabel vi plockar 'ar "Position
    "
137 %Den kan instantieras via h.impoint();, och positionen fås då
138 %via h.getPosition();)
139 %interaktionspunktens l'age sparas, och en serie if-satser kollar om
140 %den nuvarande punkten 'ar n'ara något interaktionsobjekt.
141 %pointdistance garanterar att de interaktionspunkter som inte vidr'ors
142 %ej kan interagera med sitt plans interaktionsobjekt, vilket hade gjort
143 %koden svårnavigerad.
144
145 %Det finns en del kriterier utsatta for att se till att sa få "on'odiga"
146 %loopar g'ors som mojligt for att snabba upp programmetn som i nul'aget
147 %ar r'att långsamma.
148 %Om interaktionspunkten kommer n'ara ett objekt, ber'aknar programmet
    vilka operationer
149 %som skall utf'oras.
150 %d'arefter har varje programs while loop en serie set-funktioner (en "
    set"/setter
151 %låter anv'andaren ans'atta ett nytt v'arde i ett objekt,
152 % exempelvis: set(u,'XData',b(1),'YData',b(2),'ZData',b(3)) s'atter ut
153 %klotpunkten i dess nya l'age i BR.) vilka uppdaterar alla grafiska
    objekt.

```



```

154 %}
155
156 clear all; clf;
157
158
159 %nedan introduceras konstanter som anv'andaren kan v'alja att
160 %justera efter behov, beroende på dennes dators prestandakrav osv.
161 %{
162 %Detta program (BR) verkar vara mindre kr'avande 'an VR
163 %så det finns mer frihet i hur man vill ans'atta konstanterna h'ar, och
164 %jag har inga direkta rekommendationer, om anv'andaren 'ar intresserad
165 %b'or denne testa sj'alv.
166
167 %1. 'pauselength' best'ammer, i sekunder, den tid det skall ta mellan
    varje
168 %iteration av att l'asa av vektorpunktens l'age och positionera
    vektorsystemet och
169 %klotpunkten efter det.
170
171 %2. 'dist' beskriver från vilket avstånd de blå punkterna
172 %aktiverar pilarna så att de kan f'orflyttas
173
174 %3. Pointdistance uts'atter ett krav
175 %som begr'ansar antalet processer som g'ors i while loopen, genom att
176 %kontrollera vilket avstånd den nuvarande interaktionspunkten har
177 %relativt den tidigare iterationspunkten
178 %dvs om man s'atter pointdistance 0.01 måste interaktionspunkten ha f'o
    rflyttats
179 %0.01 enheter från det l'age den var sedan senaste grafikuppdatering,
    innan
180 %programmet kontrollerar huruvida klotpunkten skall flyttas relativt
181 %interaktionspunktens nuvarande l'age.
182
183 %Den g'or 'aven så att interaktionspunkterna
184 %inte påverkar systemet om inte anv'andaren r'or vid dem. Om man
185 %s'atter pointdistance till noll finns det ingen f'ors'akring till detta.
186
187 %(Jag tror detta 'ar pga att impoint, som genererar
    interaktionspunkterna,
188 %verkar flytta sig sj'alv, om 'an v'aldigt lite, i sin egen uppdatering.
189 %(jag 'ar os'aker på dessa detaljer, kan ju också tex vara relaterat till
190 %grafikens uppdateringar).)
191 %}
192 dist=1.5;
193 pauselength=0.05;
194 pointdistance=0.005;
195
196 %nedan instantieras de logiska/matematiska objekten
197
198 %b 'ar punkten i klotrymden som, som relaterar till kvaternionrummet
199 %via  $q=\exp(b/2)$ . H'ar relaterar den till rotationer med  $T(v)=qvq^{(-1)}$ 
200 %(punkten kommer i texten kallas "klotpunkten" då dess visuella
    aspekter betraktas
201 % och b om jag skall beskriva den som ett matematiskt objekt)
202
203 b=[0 0 0];

```

```

204 x=[1,0,0];
205 y=[0,1,0];
206 z=[0,0,1];
207
208
209 %koden nedan ritar ut klotet i vilket klotpunkten (b) befinner sig
210
211 figure(1)
212
213 set(gcf, 'Position', [100, 100, 1000, 500])
214
215
216 subplot(1,2,1)
217
218 [m n o]=sphere; %total sphere bdry => q=-1
219 surf(2*pi*m,2*pi*n,2*pi*o, 'facecolor', 'blue', 'facealpha', .3, 'EdgeAlpha',0);
220 hold on
221 surf(pi*m,pi*n,pi*o, 'facecolor', 'green', 'facealpha', .5, 'EdgeAlpha',0);
222 hold on
223 phi=linspace(0,2*pi);
224 xlabel('x')
225 ylabel('y')
226 zlabel('z')
227 title('Bivektorrymden BR', 'FontSize',14);
228
229 plot(2*pi*cos(phi),2*pi*sin(phi), 'black') % circle for visualisation
230 hold on
231 plot3([-10 10],[0 0], [0 0], 'black', [0 0],[-10 10], [0 0], 'black', [0 0],[0 0], [-10 10], 'black')
232
233 %klotpunkten ritas ut,
234 %samt tre stycken "skuggbilder"; projektioner av b på klotrummets x,y och z axlar
235 %utritade i gråskala med svag ljusinställning, för att ge mer insikt
236 %i var inom klotrummet bollen befinner sig i.
237 %(bollen står sist i koden så att den inte 'overt'acks av skuggbilderna)
238
239 uxyz=plot3([0 0 0],[0 0 0],[0 0 0], '*', 'Color',[0.5 0.5 0.5]);
240 u=surf(0.35*m,0.35*n,0.35*o, 'facecolor', 'red', 'facealpha',1, 'EdgeAlpha',0);
241
242 grid on
243 axis([-7 7 -7 7 -7 7])
244 axis equal
245 hold on
246
247 subplot(1,2,2);
248
249 %Koden nedan ritar ut vektorsystemet som roteras av
250 %den kvaternion (q) som beskrivs av klotpunkten via q=exp(b/2).
251 vec1=quiver3(0,0,0,x(1),x(2),x(3), 'b'); hold on;
252 vec2=quiver3(0,0,0,y(1),y(2),y(3), 'r');
253 vec3=quiver3(0,0,0,z(1),z(2),z(3), 'g');
254
255 %ett mindre vektorsystem som visar vektorsystemets ursprungsposition

```

```

256 %(b=0, eller [x,y,z]=[1 0 0],[0 1 0], [0 0 1])
257 smallx=quiver3(-0.5,-0.5,-1,0.5,0,0,'b');
258 smally=quiver3(-0.5,-0.5,-1,0,0.5,0,'r');
259 smallz=quiver3(-0.5,-0.5,-1,0,0,0.5,'g');
260
261
262 xlim([-1.2 1.2])
263 ylim([-1.2 1.2])
264 zlim([-1.2 1.2])
265 title('Vektorrymden VR','FontSize',14);
266
267 %kod som 'projicerar' bollrymden på x-y,z-x och y-z planen,
268 %inom vilka tre separata punkter (här kallade interaktionspunkter (de
    blå punkter)
269 %vilka låter dig manipulera klotpunktens (den röda) l'age.
270 %Om man förflyttar ett plans interaktionspunkt så att den hamnar
271 %tillräckligt nära klotpunkten (avståndet bestäms av 'dist') kommer
272 %klotpunkten att förflyttas till interaktionspunktens plats.
273
274 %cirkeln inritat i planet beskriver avståndet punkten har från
275 %klotets rand i detta plan, dess storlek uppdateras efter
276 %klotpunktens nya l'agen.
277
278 %(koden för samtliga plan 'ar i allmänhet analoga)
279
280 %genom att göra subplotten som ett objekt, kan den deklareraras
281 %till en "parent" för impointen, vilket tillåter mig att bestämma
282 %impointens l'age inuti koden
283 %xyz=subplot(3,4,[9 10]);
284
285 figure(2);
286 set(gcf,'Position',[100,100,600,200])
287
288 bxyz=plot([b(1)-20 b(3) b(2)+20],[b(2) b(1) b(3)],'red*');hold on
289
290 circz=plot(2*pi*cos(phi)-20,2*pi*sin(phi),'g');
291
292 circy=plot(2*pi*cos(phi),2*pi*sin(phi),'r');
293
294 circx=plot(2*pi*cos(phi)+20,2*pi*sin(phi),'b');
295
296 xlim([-30 30]);
297 ylim([-8 8]);
298 axis([-30 30 -10 10])
299
300 txtxy = 'x-y plan';
301 txtzx = 'z-x plan';
302 txtyz = 'y-z plan';
303 text(-23,-7.5,txtxy);
304 text(-3,-7.5,txtzx);
305 text(17,-7.5,txtyz);
306 title('interaktiva plan','FontSize',12);
307
308 h=impoint(gca,[0 7]);
309
310 p=[0 7];

```

```

311 p2=p;
312
313 dist=dist^2;
314
315
316 %inom while loopen definieras all interaktion mellan programmet
317 %och anv'andare. Forst initieras programmets get-funktioner for
318 %att finna interaktionspunkternas nuvarande l'agen, varefter
319 %if satser kollar om interaktionspunkterna 'ar tillr'ackligt n'ara
    klotpunkten
320 %for att klotpunkten skall forflyttas, varefter bollens l'age justeras
321 %och vektorsystemet roteras efter den boll i rummet som valts ut.
322
323 bt=b;
324 while(true)
325     pause(pauselength)
326     p=h.getPosition;
327
328     if(pointdistance<=norm(p-p2));
329     if((p(1)-b(1)+20)^2+(p(1)-b(2))^2<=dist)
330         b(1)=p(1)+20;
331         b(2)=p(2);
332     elseif((p(1)-b(3))^2+(p(2)-b(1))^2<=dist)
333         b(3)=p(1);
334         b(1)=p(2);
335     elseif((p(1)-b(2)-20)^2+(p(2)-b(3))^2<=dist)
336         b(2)=p(1)-20;
337         b(3)=p(2);
338     end
339
340     %Da b's norm (phi) 'ar st'orre 'an 2*pi reflekteras den genom den
        linje som
341     %delar dess riktning med storleken (4*pi-phi)
342
343     %{
344     %Om phi=2*pi+phi', phi'>0 far vi phi->phi2=2*pi-phi', eftersom vi
        har
345     %modulo 2*pi, motsvarar ju denna punkt samma kvaternion som man drog
        till,
346     %fast b skall hallas inom klotet.
347     %}
348
349     if(2*pi<=norm(b))
350         b=-(4*pi-norm(b))*b/norm(b);
351     end
352
353     %if(balldist<(bt(1)-b(1))^2+(bt(2)-b(2))^2+(bt(3)-b(3))^2)
354
355     %uppdaterar storleken hos cirklarna i planen efter b-vektorns nya l
        'age
356
357
358     rx=sqrt((2*pi)^2-b(1)^2);
359     ry=sqrt((2*pi)^2-b(2)^2);
360     rz=sqrt((2*pi)^2-b(3)^2);
361

```

```

362     set(circx, 'XData', rx*cos(phi)+20, 'YData', rx*sin(phi))
363     set(circy, 'XData', ry*cos(phi), 'YData', ry*sin(phi))
364     set(circz, 'XData', rz*cos(phi)-20, 'YData', rz*sin(phi))
365
366     %set funktioner som uppdaterar klotpunktens l'age
367     set(bxyz, 'XData', [(b(1)-20) b(3) b(2)+20], 'YData', [b(2) b(1) b
368         (3)]);
369     set(u, 'XData', b(1)+m*0.35, 'YData', b(2)+n*0.35, 'ZData', b(3)+o
370         *0.35)
371     set(uxyz, 'XData', [b(1) 0 0], 'YData', [0 b(2) 0], 'ZData', [0 0 b
372         (3)])
373
374     %kvaternionen exp(b/2) tas ut, och RotateVectorQ 'ar en funktion
375     %i quaternion.m som roterar systemet givet en kvaternion
376     q=exp(quaternion(0,b(1)/2,b(2)/2,b(3)/2));
377     x=RotateVectorQ(q,[1 0 0]);
378     y=RotateVectorQ(q,[0 1 0]);
379     z=RotateVectorQ(q,[0 0 1]);
380
381     %set funktioner som uppdaterar vektorrummet
382     set(vec1, 'udata', x(1), 'vdata', x(2), 'wdata', x(3));
383     set(vec2, 'udata', y(1), 'vdata', y(2), 'wdata', y(3));
384     set(vec3, 'udata', z(1), 'vdata', z(2), 'wdata', z(3));
385     bt=b;
386
387     %end
388     p2=p;
389     end
390 end

```

C.3 SR

```

1 clear all; clf;
2
3 %{
4 %Detta program 'ar skapat i samband med ett kandidatprojekt,
5 %och 'ar menat att vara en del i ett paket av tre
6 %(VR,BR och SR(detta program), d'ar VR st'ar f'or vektorrummet, BR f'or
7 %Bivektorrummet
8 %och SR f'or spinorrummet).
9
10 %F'or att BR och SR skall kunna k'ora kr'avs att man laddar hem quaternion
11     .m
12 %F'or SR kr'avs 'aven platonic_solid.m
13
14 %Vardera program skall g'aa att anv'anda utan tillgang till de andra, och
15     g'ar
16 %att anv'anda utan djupare kunskap i matematiken om bara f'or n'ojes skull
17     .
18
19 %Denna inledning 'ar skriven f'or att ge insikt i vad de olika
20 %programmen g'or, vad de 'ar till f'or, hur man anv'ander dem, och hur de 'a
21     r
22 %uppbyggda.
23 %Den 'ar skriven f'or att fors'oka s'aa langt det g'ar enhetligt
24 %beskriva samtliga tre program samtidigt, s'aa
25 %att det inte finns behov av att l'asa inledningen i n'agon av de andra.

```

```

22
23 %Mer specifika detaljer relaterade till varje kods uppbyggnad; vad de
    olika
24 %momenten gör och varför de skrivs på det sätt de görs skall skrivas nå
    ra
25 %tillhörande kodstycke.
26
27 %Kunskaper kring programmering tenderar att variera, så jag har
28 %föredragit att ta upp "för många detaljer" än för få i texten, så
    koden
29 %skall vara enkel att förstå även utan tidigare kunskaper.
30
31 %BR och VR är en visuell demonstration av hur kvaternionerna
32 %dubbelt täcker gruppen  $SO(3)$ , som beskriver rotationer i 3D.
33 %SR är en visualisering av spinorer, som påvisar rotationers "Spin 2
    minne".
34
35 %Programmets strukturer är på många sätt lika;
36 %Den första koden i varje program har jag satt ut parametrar som är
    ditsatta
37 %så att användaren skall kunna justera efter datorprestanda och
    personliga preferenser,
38 %sedan står så många som möjligt av de logiska/matematiska objekten,
39 %vektorer osv
40
41 %Därefter instantieras diverse geometriska objekt satt i sina
42 %"startlägen".
43
44 %I vardera program finns tre plan ned på vilka ett rum projiceras
45 %(I BR och SR projiceras "Bivektorrummet", i VR projiceras "
    Vektorrummet").
46 %Dessutom kommer i vardera plan en punkt instantieras
47 %(en blå stjärna ('*')) som i samtliga texter kommer kallas "
    interaktionspunkten",
48 %för att särskilja den från punkten i BR, som kommer kallas "
    klotpunkten".
49 %Planen kommer kallas "interaktionsplanen" och kommer ofta beskrivas
50 %som att de "tillhör" det rum som projicerades ned på det
51 %(exempelvis här i VR kan texten "vektorrummets plan" förekomma).
52 %Bland de objekt som finns visuellt representerade i planen finns
53 %komponenter som kan interagera med interaktionspunkter,
54 %vilka kommer kallas 'interaktionsobjekt'.
55 %interaktionspunkterna går att flytta i det plan i vilket det är
    definierat
56 %Genom att komma tillräckligt nära ett interaktionsobjekt
57 %kommer föremålet att flytta sig så den hamnar på samma plats som
    interaktionspunkten.
58 %interaktionsplanen är alltid  $x-y$ ,  $z-x$ , och  $y-z$  planen.
59 %Det är värt att anmärka att jag valt att kalla ett plan  $z-x$ . Det var
60 %delvis för att behålla orientering och så att samtliga grundtillstånd
61 %hos vektorrummets plan har samma form, samt att det finns något
    trevligt
62 %överlapp i meningen att när man i Spin-Algebran ofta nämner
63 %bivektorn  $e_{13}$  som  $e_{31}$  (eller snarare har vi  $i, j, k \rightarrow -e_{23}, -e_{31}, -e_{12}$ ).
64
65
66 %"Vektorrummet" och "Bivektorrummet" representeras i samtlig kod

```

```

67 %vektorrummets visuella komponenter 'ar tre stycken vektorer ,
68 %som skall representera ett koordinatystem
69 %(x-axel , y-axel och en z-axel) och i en bredare bem'arkelse , vektorer i
70 %tre dimensioner .
71 %Bivektorrummet best'ar av ett klot med radie 2*pi
72 %som 'ar en visuell representation av enhetskvaternionerna , vilka utg'or
73 %en tredimensionell sf'ar inb'addad i fyra dimensioner , och
74 %om b=[b1 b2 b3] 'ar en punkt i B(0,2*pi) kan den relateras till en
    specifik
75 %kvaternion via b->exp((b1*i+b2*j+b3*k)/2)
76 %Bollens fr'amsta komponent 'ar en punkt (kallad klotpunkt , kommer ibland
    i kod understryka
77 %att den 'ar r'od , f'or att s'arskilja den fr'an interaktionspunkterna , och
    n'ar jag diskuterar
78 %den som en kvaternion eller vektor kommer jag kalla den b)
79 %bollen har f'or 'ovrigt ett modulus p'ar 4*pi (exp((4*pi*j)/2)=1) , s'ar n'ar
    b kommer "over" 4*pi
80 %kommer den f'orflyttas till ett motsvarande l'age p'ar andra sidan klotet .
81 %som beskriver en specifik punkt i klotet .
82 %f'or att ge en b'attare bild av var i klotet punkten befinner sig har
83 %"skuggbilder satts ut , vilka beskriver b's projektioner p'ar
    Bivektorrymdens axlar .

84
85 %I VR 'ar det vektorrummet som 'ar projicerat p'ar interaktionsplanen .
86 %vektorrummets interaktionsobjekt 'ar de olika vektorernas pilspetsar ;
87 %n'ar interaktionspunkten kommer n'ara pilspetsen kommer dess vektor
    flyttas
88 %mot punkten p'ar s'ar s'att att vektorns l'angd inte
89 %andras , dvs den roterar mot interaktionspunkten ,
90 %varefter hela koordinatsystemet kommer rotera efter samma axel och
91 %med samma vinkelutslag .
92 %Varje system av koordinataxlar (x',y',z') , motsvarar en
    rotationsmatris :
93 %[x' y' z'] (eftersom x' y' z' 'ar ortonormerade , vi har
94 %R[e1 e2 e3]=[R(e1) R(e2) R(e3)]=[x' y' z']
95 %Ifr'an denna rotationsmatris kan man f'ar ut en vektor i Bivektorrymden
96 %genom att betrakta matrisens "clifford trace" , vilket vi kan
97 %relatera till en specifik axel och en specifik vinkel , vilket
98 %d'ar 'ar en b-vektor som motsvarar klotpunktens nya l'age i bollrummet .
99
100 %Det som tydligt m'arcks 'ar att 'aven d'ar rotationssystemet roterat 360
    grader
101 %kommer inte b-vektorn ha 'aterg'att till [0 0 0] , utan det 'ar f'orst
    efter
102 %tv'ar rotationer som systemet har 'aterst'allts helt .
103
104
105 %I BR 'ar det bollrummet som 'ar projicerat p'ar interaktionsplanen , och
106 %interaktionsobjektet 'ar klotpunkten . D'ar interaktionspunkten kommer n'ar
    ra
107 %klotpunkten flyttas klotpunkten till interaktionspunktens l'age .
108 %I varje interaktionsplan finns 'aven en cirkel utritad , som motsvarar
109 %randen av BR .
110 %klotpunkten motsvarar ('ar) ju en b-vektor , vilket vi kan relatera till
    en enhets-
111 %kvaternion q=exp(b/2) , d'ar vi nu kan rotera koordinatsystemet

```

```

112 %med  $qvq^{-1}$ . Mer detaljrik förklaring finns i projektrapporten.
113 %I koden i sig används ett befintligt program som fanns i quaternion.m,
114 %som jag ej vet hur den är uppbyggd.
115
116 %I SR har vi spinorrummet, vilket likt BR är ett klot av radien  $2\pi$ ,
117 %vari det ligger fyra stycken punkter (återigen 'stjärnor', (*))
118 %som motsvarar spinorer.
119 %Spinorer beskrivs ofta som vektorer i  $C^2$ , där det finns en
120 %kvaternionrepresentation  $p(q)=[z w; -w' z']$ , som 'verkar' på
121 %spinorerna. I SR går vi över till  $R^4$ , och eftersom p bevarar längder
122 %kommer "enhetsspinorer" befinna sig i sfären, så vi representerar
123 %spinorerna i någon mening som om de vore "kvaternioner".
124 %I SR är det återigen BR som projiceras på interaktionsplanen, med
125 %samma interaktionssystem som i BR, och när bollens rörelse resulterar
126 %i förändringar av kvaternionens läge genom det p(q) som beskrevs ovan.
127
128 %för att hjälpa visualiseringen av spinorernas lägen finns även
129 %"skuggbilder", men eftersom det innebär att spinorrymden har 16
    stycken
130 %visualiserade punkter, är det valbart att sätta på dem.
131 %det finns även projektioner av spinorerna ned på "golvet" och ena
132 %"väggen", för att ge mer insikt i deras lägen. Den är satt som "på" om
133 %användaren inte stänger av dem.
134
135
136 %samtliga interaktioner mellan program och användare
137 %i varje kod hanteras inom en while loop, som alltid är satt till 'true'
    ,
138 %interaktionspunkterna är "impoint"-objekt.
139 %Som instantieras strax efter planet det befinner sig i.
140 %Dessa kallas på i loopen med en "get"
141 %(För den ovane: get/getters och set/setters är
142 %i programmering typiska funktioner att ge klasser. En "get" låter
143 %användaren läsa av variabler/hämta information som ett objekt har
144 %(i detta fall har vi en impoint, vars variabel vi plockar är "Position
    "
145 %Den kan instantieras via h.impoint();, och positionen fås då
146 %via h.getPosition.)
147 %interaktionspunktens läge sparas, och en serie if-satser kollar om
148 %den nuvarande punkten är någonting interaktionsobjekt.
149 %pointdistance garanterar att de interaktionspunkter som inte vidrörs
150 %ej kan interagera med sitt plans interaktionsobjekt, vilket hade gjort
151 %programmet svårnavigerat.
152 %}
153
154 %nedan introduceras en del konstanter som användaren kan välja att
155 %justera efter behov, beroende på dennes dators prestandakrav osv.
156 %{
157
158 %1. 'pauselength' bestämmer, i sekunder, den tid det skall ta mellan
    varje
159 %iteration av att läsa av vektorpunktens läge och positionera
    vektorsystemet och
160 %klotpunkten efter det.
161
162

```



```

163 %2. 'dist' beskriver från vilket avstånd interaktionspunkten skall vara
164 %från någon av klotpunktens projektioner innan rörelse aktiveras.
165
166 %3. Pointdistance utsätter ett krav
167 %som begränsar antalet processer som görs i while loopen, genom att
168 %kontrollera vilket avstånd den nuvarande interaktionspunkten har
169 %relativt den tidigare iterationspunkten
170 %dvs om man sätter pointdistance 0.01 måste interaktionspunkten ha fö
    rflyttats
171 %0.01 enheter från det läge då klotpunkten senast flyttades, innan
172 %programmet kontrollerar huruvida klotpunkten skall flyttas relativt
173 %interaktionspunktens nuvarande läge.
174 %Den har även funktionen att utan den hade även de interaktionspunkter
175 %i planen du inte befinner dig i hade kunnat påverka systemet.
176 %Jag hade tidigare försökt med en liknande funktion, ekvivalent
177 %med denna om pointdistance var noll.
178 %Av någon anledning fick jag dock störningar, jag tror det kan bero på
179 %impoint, men är definitivt inte säker.
180
181 %Med balldist kontrolleras hur långt klotpunkten skall ha rört
182 %sig innan grafiken uppdateras. Dess analog i VR är "vecdist"
183
184 %}
185
186 dist=1.5;
187 pauselength=0.05;
188 pointdistance=0.1;
189 balldistance=0.1;
190
191 %shadeon sätter ut "skuggade" versioner av spinorerna (mer transparenta
    )
192 %som är utsatta på x-y-z axlarna
193 %projectionon sätter ut projektioner av spinorerna, plana bilder
194 %på z=-10 och x=10 planen.
195 %de syns om konstanten är satt till 1.
196 %shadeon är för tillfället av, det blir lätt väldigt många punkter
    vilket
197 %kan göra det svårt att se
198
199 shadeon=0;
200 projectionon=1;
201
202 %de matematiska/logiska objekten
203 %b är punkten i klotet av radie 2*pi, som relaterar till
    kvaternionrummet
204
205 %som en exponential.b1,b2,b3,b4 är de vektorer som beskriver
206 %spinorerna som representerade i kvaternionrummet (spinorpunkter)
207 %spinorerna är i sig vektorer i ett 4 dimensionellt rum, som vi här
208 %relaterar till klotet genom att betrakta vardera index som ett bidrag
    till
209 %en kvaternion: q=[q1 q2 q3 q4]-> q1+i*q2+j*q3+k*q4
210
211 %x,y,z är basvektorerna i vektorrymden
212
213 %r bestämmer storleken hos spinorerna

```

```

214
215 b=[0 0 0];
216
217 b1=[0 0 0];
218 b2=[pi 0 0];
219 b3=[0 pi 0];
220 b4=[0 0 pi];
221
222 x=[1;0;0];
223 y=[0;1;0];
224 z=[0;0;1];
225
226 r=0.5;
227
228 shadedist=10;
229
230
231 %forst ritas bollrymden (BR) ut
232
233 figure(1)
234
235 set(gcf, 'Position', [100, 100, 1800, 600])
236
237
238 subplot(2,6,[1 2 7 8])
239
240 %koden nedan ritar ut klotet i vilket klotpunkten (b) befinner sig
241
242 [m n o]=sphere; %total sphere bdry => q=-1
243 surf(2*pi*m,2*pi*n,2*pi*o, 'facecolor', 'blue', 'facealpha', .15, '
    EdgeAlpha',0);
244 hold on
245
246 surf(pi*m,pi*n,pi*o, 'facecolor', 'green', 'facealpha', .3, 'EdgeAlpha',0);
247 phi=linspace(0,2*pi);
248 plot(2*pi*cos(phi),2*pi*sin(phi), 'black') % circle for visualisation
249 hold on
250 plot3([-10 10],[0 0], [0 0], 'black',[0 0],[-10 10], [0 0], 'black',[0
    0],[0 0], [-10 10], 'black')
251
252 %klotpunkten ritas ut
253 %samt tre stycken "skuggbilder"; projektioner av b på klotrummets x,y
    och z axlar
254 %utritade i gråskala med svag ljusinställning, för att ge mer insikt
255 %i var inom klotrummet bollen befinner sig i.
256 %(bollen står sist i koden så att den inte 'overt'acks av skuggbilderna)
257
258 %uxyz=plot3([0 0 0],[0 0 0],[0 0 0], '* ', 'Color',[0.5 0.5 0.5]);
259
260 xyz=surf([0.35*m;0.35*m;0.35*m],[0.35*n;0.35*n;0.35*n],[0.35*o;0.35*o
    ;0.35*o], 'facecolor', 'red', 'facealpha', 0.2, 'EdgeAlpha',0);
261
262 u=surf(0.35*m,0.35*n,0.35*o, 'facecolor', 'red', 'facealpha', 1, 'EdgeAlpha
    ',0);
263
264 xlabel('x')

```

```

265 ylabel('y')
266 zlabel('z')
267 title('Bivektorrymden BR', 'FontSize', 14);
268 grid on
269 axis([-7 7 -7 7 -7 7])
270 axis equal
271
272 %kodstycket nedan visualiserar genererar spinorrymden och spinorerna
273
274 %klotet där spinorerna är utsatta (Spinorrymden)
275
276 subplot(2,6,[3 4 9 10])
277
278 surf(2*pi*m,2*pi*n,2*pi*o, 'facecolor', 'blue', 'facealpha', 0.15, '
    EdgeAlpha', 0);
279 hold on
280 surf(pi*m, pi*n, pi*o, 'facecolor', 'green', 'facealpha', .3, 'EdgeAlpha', 0);
281
282 xlabel('x')
283 ylabel('y')
284 zlabel('z')
285
286 plot(2*pi*cos(phi), 2*pi*sin(phi), 'black') % circle for visualisation
287
288 plot3([-10 10],[0 0], [0 0], 'black', [0 0],[-10 10], [0 0], 'black', [0
    0],[0 0], [-10 10], 'black')
289
290
291 %spinorerna, representerade som platonska solider inom ett klot
292 %samt skuggbilder
293
294 if (shadeon==1)
295 [Vt,F]=platonic_solid(5,r);
296 Vt=[Vt(:,1)+b1(1),Vt(:,2),Vt(:,3);Vt(:,1),Vt(:,2)+b1(2),Vt(:,3);Vt(:,1)
    ,Vt(:,2),Vt(:,3)+b1(3)];
297 u1xyz=patch('Faces',[F;F+20;F+20], 'Vertices',Vt, 'FaceColor', 'b', '
    FaceAlpha', 0.2, 'EdgeColor', 'k', 'Edgealpha', 0.2, 'LineWidth', 0.1);
298 [Vt,F]=platonic_solid(2,r);
299 Vt=[Vt(:,1)+b2(1),Vt(:,2),Vt(:,3);Vt(:,1),Vt(:,2)+b2(2),Vt(:,3);Vt(:,1)
    ,Vt(:,2),Vt(:,3)+b2(3)];
300 u2xyz=patch('Faces',[F;F+8;F+16], 'Vertices',Vt, 'FaceColor', 'r', '
    FaceAlpha', 0.2, 'EdgeColor', 'k', 'Edgealpha', 0.2, 'LineWidth', 0.1);
301 [Vt,F]=platonic_solid(3,r);
302 Vt=[Vt(:,1)+b3(1),Vt(:,2),Vt(:,3);Vt(:,1),Vt(:,2)+b3(2),Vt(:,3);Vt(:,1)
    ,Vt(:,2),Vt(:,3)+b3(3)];
303 u3xyz=patch('Faces',[F;F+6;F+12], 'Vertices',Vt, 'FaceColor', 'g', '
    FaceAlpha', 0.2, 'EdgeColor', 'k', 'Edgealpha', 0.2, 'LineWidth', 0.1);
304 [Vt,F]=platonic_solid(4,r);
305 Vt=[Vt(:,1)+b4(1),Vt(:,2),Vt(:,3);Vt(:,1),Vt(:,2)+b4(2),Vt(:,3);Vt(:,1)
    ,Vt(:,2),Vt(:,3)+b4(3)];
306 u4xyz=patch('Faces',[F;F+12;F+24], 'Vertices',Vt, 'FaceColor', 'y', '
    FaceAlpha', 0.2, 'EdgeColor', 'k', 'Edgealpha', 0.2, 'LineWidth', 0.1);
307 end
308
309 %projektionsbilder för spinorerna
310 %1. blå, dodekahedronens projektion (dodekagon)

```

```

311 %2. r'od, kubens projektion (kvadrat)
312 %3. gr'on, hexaederns projektion (romb)
313 %. gul, isokahedronen (hexagon)
314 if (projectionon==1)
315
316 dodecax=[1/2;sqrt(3)/4;1/2^2;0;-1/2^2;-sqrt(3)/4;-1/2;-sqrt(3)
      /4;-1/2^2;0;1/2^2;sqrt(3)/4];
317 dodecay=[0;1/2^2;sqrt(3)/4;1/2;sqrt(3)/4;1/2^2;0;-1/2^2;-sqrt(3)
      /4;-1/2;-sqrt(3)/4;-1/2^2];
318 d3=[10;10;10;10;10;10;10;10;10;10;10;10];
319
320 v1=[dodecax+b1(1) dodecay+b1(2) -d3;d3 dodecax+b1(2) dodecay+b1(3)];
321
322 Fdodeca=[1 2 3 4 5 6 7 8 9 10 11 12];
323
324 u12xyz=patch('Faces',[Fdodeca;Fdodeca+12],'Vertices',v1,'FaceColor','
      blue'); hold on
325
326 squarex=[-1/2;1/2;1/2;-1/2];
327 squarey=[-1/2;-1/2;1/2;1/2];
328 d1=[10;10;10;10];
329
330 u22xyz=patch('Faces',[1 2 3 4;5 6 7 8],'Vertices',[squarex+b2(1)
      squarey+b2(2) -d1;d1 squarex+b2(2) squarey+b3(3)],'FaceColor','red'
      ); hold on
331
332 rhombusx=[-1/2;0;1/2;0];
333 rhombusy=[0;1/2;0;-1/2];
334 d4=[10;10;10;10];
335
336 v1=[rhombusx rhombusy -d4;d4 rhombusx rhombusy];
337
338 F=[1 2 3 4];
339
340 u32xyz=patch('Faces',[F;F+4],'Vertices',[rhombusx+b3(1) rhombusy+b3(2)
      -d4;d4 rhombusx+b3(2) rhombusy+b3(3)],'FaceColor','green'); hold on
341
342
343 icosax=[0;sqrt(3)/4;sqrt(3)/4;0;-sqrt(3)/4;-sqrt(3)/4];
344 icosay=[1/2;1/4;-1/4;-1/2;-1/4;1/4];
345 d2=[10;10;10;10;10;10];
346
347 u42xyz=patch('Faces',[1 2 3 4 5 6;7 8 9 10 11 12],'Vertices',[icosax+b4
      (1) icosay+b4(2) -d2;d2 icosax+b4(2) icosay+b4(3)],'FaceColor','
      yellow'); hold on
348
349 end
350
351
352 [Vt,F]=platonic_solid(5,r);
353 Vt=[Vt(:,1)+b1(1),Vt(:,2)+b1(2),Vt(:,3)+b1(3)];
354 u1=patch('Faces',F,'Vertices',Vt,'FaceColor','b','FaceAlpha',1,'
      EdgeColor','k','LineWidth',0.1);
355 [Vt,F]=platonic_solid(2,r);
356 Vt=[Vt(:,1)+b2(1),Vt(:,2)+b2(2),Vt(:,3)+b2(3)];
357 u2=patch('Faces',F,'Vertices',Vt,'FaceColor','r','FaceAlpha',1,'

```

```

    EdgeColor','k','LineWidth',0.1);
358 [Vt,F]=platonic_solid(3,r);
359 Vt=[Vt(:,1)+b3(1),Vt(:,2)+b3(2),Vt(:,3)+b3(3)];
360 u3=patch('Faces',F,'Vertices',Vt,'FaceColor','g','FaceAlpha',1,'
    EdgeColor','k','LineWidth',0.1);
361 [Vt,F]=platonic_solid(4,r);
362 Vt=[Vt(:,1)+b4(1),Vt(:,2)+b4(2),Vt(:,3)+b4(3)];
363 u4=patch('Faces',F,'Vertices',Vt,'FaceColor','y','FaceAlpha',1,'
    EdgeColor','k','LineWidth',0.1);
364
365 grid on
366 axis([-7 7 -7 7 -7 7])
367 axis equal
368 title('Spinorrymden SR','FontSize',14);
369
370
371 subplot(2,6,[5 6 11 12])
372
373
374 vecx=quiver3([0 -0.5],[0 -0.5],[0 -1.2],[x(1) 0.5],[x(2) 0],[x(3) 0],'b
    ','Autoscale','off'); hold on; %generate a rotateable x-y-z
    coordinate system
375 vecy=quiver3([0 -0.5],[0 -0.5],[0 -1.2],[y(1) 0],[y(2) 0.5],[y(3) 0],'r
    ','Autoscale','off');
376 vecz=quiver3([0 -0.5],[0 -0.5],[0 -1.2],[z(1) 0],[z(2) 0],[z(3) 0.5],'g
    ','Autoscale','off');
377
378 axis([-1.2 1.2 -1.2 1.2 -1.2 1.2])
379
380 pbaspect([1 1 1]);
381 xlabel('x')
382 ylabel('y')
383 zlabel('z')
384 title('Vektorrymden VR','FontSize',14);
385
386
387 %{
388 %kod som projicerar klotrummet på x-y,z-x och y-z planen,
389 %inritade i en gemensam plot, d'ar en punkt (h'ar kallade
    interaktionspunkten (den blå)
390 %låter dig manipulera klotpunktens (den r'oda) l'age.
391 %Om man f'orflyttar interaktionspunkten så den hamnar
392 %tillr'ackligt n'ara klotpunkten (avståndet best'ams av 'dist') kommer
393 %klotpunkten att f'orflyttas till interaktionspunktens plats.
394
395 %cirkeln inritat i planet beskriver avståndet punkten har från
396 %klotets rand i detta plan, dess storlek uppdateras efter
397 %klotpunktens nya l'agen.
398 %}
399
400 figure(2);
401 set(gcf,'Position',[100,100,600,200])
402
403 bxyz=plot([b(1)-20 b(3) b(2)+20],[b(2) b(1) b(3)],'red*');hold on
404
405 circz=plot(2*pi*cos(phi)-20,2*pi*sin(phi),'g');

```

```

406 circy=plot(2*pi*cos(phi),2*pi*sin(phi),'r');
407 circx=plot(2*pi*cos(phi)+20,2*pi*sin(phi),'b');
408
409 axis([-30 30 -10 10])
410
411 txtxy = 'x-y plan';
412 txtzx = 'z-x plan';
413 txtyz = 'y-z plan';
414 text(-23,-7.5,txtxy);
415 text(-3,-7.5,txtzx);
416 text(17,-7.5,txtyz);
417 title('interaktiva ytor','FontSize',12);
418
419
420 h=impoint(gca,[0 7]);
421
422 %p sparar impointens l'age i loopen ,
423 %p2 anv'ands f'or att kontrollera huruvida interaktionspunkten flyttats
424 %tillr'ackligt f'or att grafiken skall uppdateras
425
426 p=[0 7];
427 p2=p;
428
429 pointdistance=pointdistance^2;
430 dist=dist^2;
431 balldistance=balldistance^2;
432
433
434 %{
435 %inom while loopen definieras all interaktion mellan programmet
436 %och anv'andare. Forst initieras programmets get-funktioner f'or
437 %att finna interaktionspunkternas nuvarande l'agen, varefter
438 %if satser kollar om interaktionspunkterna 'ar tillr'ackligt n'ara
    klotpunkten
439 %f'or att klotpunkten skall flyttas, vilket relateras till en kvaternion
440 %som vi representerar som en matris som kommer transformera spinorerna,
441 %vars l'agen kan relateras till en boll p' samma s'att som man kan
442 %enhetskvaternionerna
443 %}
444 while(true)
445     pause(pauselength)
446     p=h.getPosition;
447     if(pointdistance<=(p(1)-p2(1))^2+(p(2)-p2(2))^2)
448         dist1=(p(1)-b(1)+20)^2+(p(2)-b(2))^2;
449         dist2=(p(1)-b(3))^2+(p(2)-b(1))^2;
450         dist3=(p(1)-b(2)-20)^2+(p(2)-b(3))^2;
451         if(balldistance<=dist1 || pointdistance<=dist2 || pointdistance<=
            dist3)
452             if((p(1)-b(1)+20)^2+(p(1)-b(2))^2<=dist)
453                 b(1)=p(1)+20;
454                 b(2)=p(2);
455             elseif((p(1)-b(3))^2+(p(2)-b(1))^2<=dist)
456                 b(3)=p(1);
457                 b(1)=p(2);
458             elseif((p(1)-b(2)-20)^2+(p(2)-b(3))^2<=dist)
459                 b(2)=p(1)-20;

```

```

460         b(3)=p(2);
461     end
462
463     %{
464     %Om phi=2*pi+phi', phi'>0 får vi phi->phi2=2*pi-phi', eftersom vi
465     har
466     %modulo 2*pi, motsvarar ju denna punkt samma kvaternion som man drog
467     till,
468     %fast b skall hållas inom klotet.
469     %}
470     if (2*pi<=norm(b))
471         b=-(4*pi-norm(b))*b/norm(b);
472     end
473
474     %skippa uppdateringar om b-vektorn inte förflyttats
475     %tillräckligt (kan vara överflödig ide...)
476     % if (balldist<=(bt(1)-b(1))^2+(bt(2)-b(2))^2+(bt(3)-b(3))^2)
477
478
479     %kvaternionens nya läge bestämmer spinorernas
480
481     %därefter beskrivs spinorerna som enhetskvaternioner
482     %i den andemening att de kan representeras med deras respektive
483     %deras j,phi, som bestämmer
484     %deras positioner som punkter inom ett kvaternionklot
485     %(dvs)b1=phi1*j1, där de relateras till en
486     %kvaternion via q1=exp(b1/2) (analogt för b2,b3,b4)
487
488     %{
489     %Av något skäl ställde jag om systemet så matrismultiplikationen
490     gjordes
491     %inuti koden, där man plockar ur m
492     %Känner mig manad att återställa den representation som användes,
493     %ifall det finns intresse (kontrollering av räkne regler osv):
494
495     %rho(q)=rho(q1+i*q2+j*q3+k*q4)=
496     %q1*I+q2*Î+q3*J+q4*K =
497     %[q1 0 0 0;      [0 q2 0 0;      [0 0 q3 0;      [0 0 0 q4;
498     % 0 q1 0 0;      + -q2 0 0 0;      + 0 0 0 -q3; + 0 0 q4 0;
499     % 0 0 q1 0;      0 0 0 q2;      -q3 0 0 0;      0 -q4 0 0;
500     % 0 0 0 q1]      0 0 -q2 0]      0 q3 0 0]      -q4 0 0 0]
501     %}
502
503     q=exp(quaternion(0,b(1)/2,b(2)/2,b(3)/2));
504     J1=[q.e(2);q.e(3);q.e(4)];
505     J2=[q.e(1);q.e(4);-q.e(3)];
506     J3=[-q.e(4);q.e(1);q.e(2)];
507     J4=[q.e(3);-q.e(2);q.e(1)];
508
509     phi1=2*acos(q.e(1));
510     phi2=2*acos(-q.e(2));
511     phi3=2*acos(-q.e(3));
512     phi4=2*acos(-q.e(4));

```

```

513     b1=phi1*J1;
514     b2=phi2*J2;
515     b3=phi3*J3;
516     b4=phi4*J4;
517
518     %RotateVectorQ 'ar en funktion i quaternion.m som
519     %roterar systemet givet en kvaternion
520     x=RotateVectorQ(q,[1 0 0]);
521     y=RotateVectorQ(q,[0 1 0]);
522     z=RotateVectorQ(q,[0 0 1]);
523
524     %set-funktioner som uppdaterar skuggbildernas l'agen
525
526     %uppdaterar storleken hos cirklarna i planen efter b-vektorns nya l
527     %age
528     %(cirklarna skall ge inblick hur n'ara klotpunkten 'ar klotets rand)
529
529     rx=sqrt((2*pi)^2-b(1)^2);
530     ry=sqrt((2*pi)^2-b(2)^2);
531     rz=sqrt((2*pi)^2-b(3)^2);
532
533     set(circx,'XData',rx*cos(phi)+20,'YData',rx*sin(phi))
534     set(circy,'XData',ry*cos(phi),'YData',ry*sin(phi))
535     set(circz,'XData',rz*cos(phi)-20,'YData',rz*sin(phi))
536
537     %set funktioner som uppdaterar klotpunktens l'age
538     %samt interaktionsobjekt (klotpunkt i plan) och skuggbilder
539
540     set(bxyz,'XData',[b(1)-20 b(3) b(2)+20],'YData',[b(2) b(1) b
541     (3)]);
542     set(u,'XData',b(1)+m*0.35,'YData',b(2)+n*0.35,'ZData',b(3)+o
543     *0.35);
544     set(uxyz,'XData',[b(1)+0.35*m;0.35*m;0.35*m],'YData',[0.35*n;b
545     (2)+0.35*n;0.35*n],'ZData',[0.35*o;0.35*o;b(3)+0.35*o])
546
547
548     %Spinorer samt dess 'skuggbilder' och projektioner uppdateras
549
550     if(shadeon==1)
551
552         [Vt,F]=platonic_solid(5,r);
553         Vt=[Vt(:,1)+b1(1),Vt(:,2),Vt(:,3);Vt(:,1),Vt(:,2)+b1(2),Vt(:,3)
554         ;Vt(:,1),Vt(:,2),Vt(:,3)+b1(3)];
555         set(u1xyz,'Faces',[F;F+20;F+20],'Vertices',Vt);
556         [Vt,F]=platonic_solid(2,r);
557         Vt=[Vt(:,1)+b2(1),Vt(:,2),Vt(:,3);Vt(:,1),Vt(:,2)+b2(2),Vt(:,3)
558         ;Vt(:,1),Vt(:,2),Vt(:,3)+b2(3)];
559         set(u2xyz,'Faces',[F;F+8;F+16],'Vertices',Vt);
560         [Vt,F]=platonic_solid(3,r);
561         Vt=[Vt(:,1)+b3(1),Vt(:,2),Vt(:,3);Vt(:,1),Vt(:,2)+b3(2),Vt(:,3)
562         ;Vt(:,1),Vt(:,2),Vt(:,3)+b3(3)];
563         set(u3xyz,'Faces',[F;F+6;F+12],'Vertices',Vt);
564         [Vt,F]=platonic_solid(4,r);
565         Vt=[Vt(:,1)+b4(1),Vt(:,2),Vt(:,3);Vt(:,1),Vt(:,2)+b4(2),Vt(:,3)
566         ;Vt(:,1),Vt(:,2),Vt(:,3)+b4(3)];

```



```

561     set(u4xyz, 'Faces', [F;F+12;F+24], 'Vertices', Vt);
562
563 end
564
565 if (projectionon==1)
566 set(u12xyz, 'Faces', [Fdodeca;Fdodeca+12], 'Vertices', [dodecax+b1
(1) dodecay+b1(2) -d3;d3 dodecax+b1(2) dodecay+b1(3)]);
567 set(u22xyz, 'Faces', [1 2 3 4;5 6 7 8], 'Vertices', [squarex+b2(1)
squarey+b2(2) -d1;d1 squarex+b2(2) squarey+b3(3)]);
568 set(u32xyz, 'Faces', [1 2 3 4;5 6 7 8], 'Vertices', [rhombusx+b3(1)
rhombusy+b3(2) -d4;d4 rhombusx+b3(2) rhombusy+b3(3)]);
569 set(u42xyz, 'Faces', [1 2 3 4 5 6;7 8 9 10 11 12], 'Vertices', [
icosax+b4(1) icosay+b4(2) -d2;d2 icosax+b4(2) icosay+b4(3)
]);
570
571 end
572
573
574     [Vt,F]=platonic_solid(5,r);
575     Vt=[Vt(:,1)+b1(1),Vt(:,2)+b1(2),Vt(:,3)+b1(3)];
576     set(u1, 'Faces',F, 'Vertices',Vt);
577     [Vt,F]=platonic_solid(2,r);
578     Vt=[Vt(:,1)+b2(1),Vt(:,2)+b2(2),Vt(:,3)+b2(3)];
579     set(u2, 'Faces',F, 'Vertices',Vt);
580     [Vt,F]=platonic_solid(3,r);
581     Vt=[Vt(:,1)+b3(1),Vt(:,2)+b3(2),Vt(:,3)+b3(3)];
582     set(u3, 'Faces',F, 'Vertices',Vt);
583     [Vt,F]=platonic_solid(4,r);
584     Vt=[Vt(:,1)+b4(1),Vt(:,2)+b4(2),Vt(:,3)+b4(3)];
585     set(u4, 'Faces',F, 'Vertices',Vt);
586
587     set(vecx, 'udata', [x(1) 0.5], 'vdata', [x(2) 0], 'wdata', [x(3) 0]);
588     set(vecy, 'udata', [y(1) 0], 'vdata', [y(2) 0.5], 'wdata', [y(3) 0]);
589     set(vecz, 'udata', [z(1) 0], 'vdata', [z(2) 0], 'wdata', [z(3) 0.5]);
590 end
591 p2=p;
592 end
593
594 end

```